

# Содержание

<b>1</b>	<b>Лекция 1 (10.02)</b>	<b>3</b>
<b>A</b>	<b>Формулы и обозначения</b>	<b>4</b>
A.1	Векторы . . . . .	5
A.1.1	Обозначение . . . . .	5
A.1.2	Набла-нотация . . . . .	5
A.2	Интегрирование . . . . .	7
A.2.1	Формула Гаусса–Остроградского . . . . .	7
A.2.2	Интегрирование по частям . . . . .	7
A.2.3	Численное интегрирование в заданной области . . . . .	8
A.3	Интерполяционные полиномы . . . . .	9
A.3.1	Многочлен Лагранжа . . . . .	9
A.3.1.1	Узловые базисные функции . . . . .	9
A.3.1.2	Интерполяция в параметрическом отрезке . . . . .	10
A.3.1.3	Интерполяция в параметрическом треугольнике . . . . .	13
A.3.1.4	Интерполяция в параметрическом квадрате . . . . .	15
A.4	Геометрические алгоритмы . . . . .	18
A.4.1	Линейная интерполяция . . . . .	18
A.4.2	Преобразование координат . . . . .	18
A.4.2.1	Матрица Якоби . . . . .	19
A.4.2.2	Дифференцирование в параметрической плоскости . . . . .	20
A.4.2.3	Интегрирование в параметрической плоскости . . . . .	21
A.4.2.4	Двумерное линейное преобразование. Параметрический треугольник . . . . .	21
A.4.2.5	Двумерное билинейное преобразование. Параметрический квадрат . . . . .	22
A.4.2.6	Трёхмерное линейное преобразование. Параметрический тетраэдр . . . . .	22
A.4.3	Свойства многоугольника . . . . .	22
A.4.3.1	Площадь многоугольника . . . . .	22
A.4.3.2	Интеграл по многоугольнику . . . . .	24
A.4.3.3	Центр масс многоугольника . . . . .	24
A.4.4	Свойства многогранника . . . . .	25
A.4.4.1	Объём многогранника . . . . .	25
A.4.4.2	Интеграл по многограннику . . . . .	25
A.4.4.3	Центр масс многогранника . . . . .	25
A.4.5	Поиск многоугольника, содержащего заданную точку . . . . .	25
<b>B</b>	<b>Работа с инфраструктурой проекта CFDCourse</b>	<b>26</b>
B.1	Клонирование . . . . .	27
B.2	Разворачивание контейнера . . . . .	27
B.3	Базовая разработка . . . . .	28
B.3.1	Особенности проекта . . . . .	29

В.3.2	Сборка в отладочном режиме . . . . .	29
В.3.3	Сборка в релизном режиме . . . . .	29
В.3.4	Работа с кодом . . . . .	30
В.4	Разработка в vscode . . . . .	30
В.4.1	Подключение к контейнеру . . . . .	30
В.4.2	Настройки vscode . . . . .	31
В.4.3	Сборка и отладка . . . . .	31
В.5	Работа с системой контроля версий . . . . .	32
В.5.1	Порядок работы с репозиторием CFDCourse . . . . .	32
В.5.1.1	Получение последнего коммита . . . . .	32
В.5.1.2	Создание коммита с текущим дз . . . . .	32
В.5.1.3	Создание коммита с прошлым дз . . . . .	33
В.6	Paraview . . . . .	34
В.6.1	Данные на одномерных сетках . . . . .	34
В.6.2	Изолинии для двумерного поля . . . . .	37
В.6.3	Данные на двумерных сетках в виде поверхности . . . . .	38
В.6.4	Числовых значения в точках и ячейках . . . . .	39
В.6.5	Векторные поля . . . . .	39
В.6.6	Значение функции вдоль линии . . . . .	41
В.7	Hybmesh . . . . .	44
В.7.1	Работа в Windows . . . . .	44
В.7.2	Работа в Linux . . . . .	44

# 1 Лекция 1 (10.02)

## А    Формулы и обозначения

## А.1 Векторы

### А.1.1 Обозначение

Геометрические вектора обозначаются жирным шрифтом  $\mathbf{v}$ . Скалярные координаты вектора – через нижний индекс с обозначением оси координат:  $(v_x, v_y, v_z)$ . Если вектор  $\mathbf{u}$  – вектор скорости, то его декартовы координаты имеют специальное обозначение  $\mathbf{u} = (u, v, w)$ . Единичные вектора, соответствующие осям координат, обозначаются знаком  $\hat{\cdot}$ :  $\hat{\mathbf{x}}, \hat{\mathbf{y}}, \hat{\mathbf{z}}$ . Координатные векторы обозначаются по символу первой оси. Например,  $\mathbf{x} = (x, y, z)$  или  $\boldsymbol{\xi} = (\xi, \eta, \zeta)$ .

Операции в векторах имеют следующее обозначение (расписывая в декартовых координатах):

- Умножение на скалярную функцию

$$f\mathbf{u} = (fu_x)\hat{\mathbf{x}} + (fu_y)\hat{\mathbf{y}} + (fu_z)\hat{\mathbf{z}}; \quad (\text{A.1})$$

- Скалярное произведение

$$\mathbf{u} \cdot \mathbf{v} = u_x v_x + u_y v_y + u_z v_z; \quad (\text{A.2})$$

- Векторное произведение

$$\mathbf{u} \times \mathbf{v} = \begin{vmatrix} \hat{\mathbf{x}} & \hat{\mathbf{y}} & \hat{\mathbf{z}} \\ u_x & u_y & u_z \\ v_x & v_y & v_z \end{vmatrix} = (u_y v_z - u_z v_y)\hat{\mathbf{x}} - (u_x v_z - u_z v_x)\hat{\mathbf{y}} + (u_x v_y - u_y v_x)\hat{\mathbf{z}}. \quad (\text{A.3})$$

В двумерном случае можно считать, что  $u_z = v_z = 0$ . Тогда результатом векторного произведения согласно (A.3) будет вектор, направленный перпендикулярно плоскости  $xy$ :

$$\mathbf{u} \times \mathbf{v} = (u_x v_y - u_y v_x)\hat{\mathbf{z}}.$$

При работе с двумерными задачами, где ось  $\mathbf{z}$  отсутствует, обычно результатом векторного произведения считают скаляр

$$2D : \mathbf{u} \times \mathbf{v} = u_x v_y - u_y v_x. \quad (\text{A.4})$$

Геометрический смысл этого скаляра: площадь параллелограмма, построенного на векторах  $\mathbf{u}$  и  $\mathbf{v}$ .

### А.1.2 Набла–нотация

Символ  $\nabla$  – есть псевдовектор, который выражает покоординатные производные. Для декартовой системы координат  $(x, y, z)$  он запишется в виде

$$\nabla = \left( \frac{\partial}{\partial x}, \frac{\partial}{\partial y}, \frac{\partial}{\partial z} \right).$$

В радиальной  $(r, \phi, z)$ :

$$\nabla = \left( \frac{\partial}{\partial r}, \frac{1}{r} \frac{\partial}{\partial \phi}, \frac{\partial}{\partial z} \right).$$

В цилиндрической  $(r, \theta, \phi)$ :

$$\nabla = \left( \frac{\partial}{\partial r}, \frac{1}{r} \frac{\partial}{\partial \theta}, \frac{1}{r \sin \theta} \frac{\partial}{\partial \phi} \right).$$

Удобство записи дифференциальных выражений с использованием  $\nabla$  заключается в независимости записи от вида системы координат. Но если требуется обозначить производную по конкретной координате, то, по аналогии с обычными векторами, это делается через нижний индекс:

$$\nabla_n f = \frac{\partial f}{\partial n}.$$

Для этого символа справедливы все векторные операции, описанные ранее. Так, применение  $\nabla$  к скалярной функции аналогично умножению вектора на скаляр (A.1) (здесь и далее приводятся покомпонентные выражения для декартовой системы):

$$\nabla f = (\nabla_x f, \nabla_y f, \nabla_z f) = \frac{\partial f}{\partial x} \hat{\mathbf{x}} + \frac{\partial f}{\partial y} \hat{\mathbf{y}} + \frac{\partial f}{\partial z} \hat{\mathbf{z}}. \quad (\text{A.5})$$

Результатом этой операции является вектор.

Скалярное умножение  $\nabla$  на вектор  $\mathbf{v}$  по аналогии с (A.2) – есть дивергенция:

$$\nabla \cdot \mathbf{v} = \frac{\partial v_x}{\partial x} + \frac{\partial v_y}{\partial y} + \frac{\partial v_z}{\partial z} \quad (\text{A.6})$$

результат которой – скалярная функция.

Двойное применение  $\nabla$  к скалярной функции – это оператор Лапласа:

$$\nabla \cdot \nabla f = \nabla^2 f = \frac{\partial^2 f}{\partial x^2} + \frac{\partial^2 f}{\partial y^2} + \frac{\partial^2 f}{\partial z^2} \quad (\text{A.7})$$

Ротор – аналог векторного умножения (A.3):

$$\nabla \times \mathbf{v} = \begin{vmatrix} \hat{\mathbf{x}} & \hat{\mathbf{y}} & \hat{\mathbf{z}} \\ \nabla_x & \nabla_y & \nabla_z \\ v_x & v_y & v_z \end{vmatrix} = \left( \frac{\partial v_z}{\partial y} - \frac{\partial v_y}{\partial z} \right) \hat{\mathbf{x}} - \left( \frac{\partial v_z}{\partial x} - \frac{\partial v_x}{\partial z} \right) \hat{\mathbf{y}} + \left( \frac{\partial v_y}{\partial x} - \frac{\partial v_x}{\partial y} \right) \hat{\mathbf{z}}. \quad (\text{A.8})$$

## А.2 Интегрирование

### А.2.1 Формула Гаусса–Остроградского

Формула Гаусса–Остроградского, связывающая интегрирование по объёму  $E$  с интегрированием по границе этого объёма  $\Gamma$ , для векторного поля  $\mathbf{v}$  имеет вид

$$\int_E \nabla \cdot \mathbf{v} d\mathbf{x} = \int_{\Gamma} v_n ds, \quad (\text{A.9})$$

где  $\mathbf{n}$  – внешняя по отношению к области  $E$  нормаль. Смысл этой формулы можно проиллюстрировать на одномерном примере. Пусть одномерное векторное поле  $v_x = f(x)$  на отрезке  $E = [a, b]$  задано функцией, представленной на рис. 1. Разобьём область на  $N = 3$  равномерных подобласти

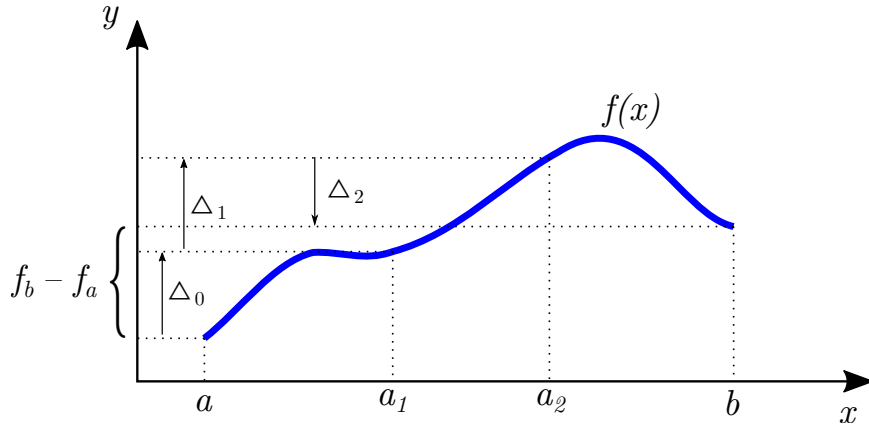


Рис. 1: Формула Гаусса–Остроградского в одномерном случае

длины  $h$ . Тогда расписывая интеграл как сумму, а производную через конечную разность, получим

$$\int_E \frac{\partial f}{\partial x} dx \approx \sum_{i=0}^2 h \left( \frac{\partial f}{\partial x} \right)_{i+\frac{1}{2}} \approx \sum_{i=0}^2 (f_{i+1} - f_i) = \Delta_0 + \Delta_1 + \Delta_2 = f_b - f_a.$$

Очевидно что, при устремлении  $N \rightarrow \infty$  правая часть предыдущего выражения не изменится. То есть, сумма всех изменений функции в области есть изменение функции по её границам:

$$\int_a^b \frac{\partial f}{\partial x} dx = f(b) - f(a).$$

А формула (A.9) – есть многомерное обобщение этого выражения.

### А.2.2 Интегрирование по частям

Подставив в (A.9)  $\mathbf{v} = f\mathbf{u}$ , где  $f$  – некоторая скалярная функция, и расписав дивергенцию в виде

$$\nabla \cdot (f\mathbf{u}) = f\nabla \cdot \mathbf{u} + \mathbf{u} \cdot \nabla f$$

получим формулу интегрирования по частям

$$\int_E \mathbf{u} \cdot \nabla f \, d\mathbf{x} = \int_{\Gamma} f u_n \, ds - \int_E f \nabla \cdot \mathbf{u} \, d\mathbf{x} \quad (\text{A.10})$$

Распишем некоторые частные случаи для формулы (A.10). Для  $\mathbf{u} = (n_x, 0, 0)$  получим

$$\int_E \frac{\partial f}{\partial x} \, d\mathbf{x} = \int_{\Gamma} f \cos(\widehat{\mathbf{n}}, \mathbf{x}) \, ds \quad (\text{A.11})$$

При  $\mathbf{u} = \nabla g$

$$\int_E f (\nabla^2 g) \, d\mathbf{x} = \int_{\Gamma} f \frac{\partial g}{\partial n} \, ds - \int_E \nabla f \cdot \nabla g \, d\mathbf{x} \quad (\text{A.12})$$

При  $f = 1$  и  $\mathbf{u} = \nabla g$

$$\int_E \nabla^2 g \, d\mathbf{x} = \int_{\Gamma} \frac{\partial g}{\partial n} \, ds \quad (\text{A.13})$$

### A.2.3 Численное интегрирование в заданной области

Квадратурная формула

$$\int_E f(\mathbf{x}) \, d\mathbf{x} = \sum_{i=0}^{N-1} w_i f(\mathbf{x}_i) \quad (\text{A.14})$$

Она определяется заданием узлов интегрирования  $\mathbf{x}_i$  и соответствующих весов  $w_i$ .



## А.3 Интерполяционные полиномы

### А.3.1 Многочлен Лагранжа

#### А.3.1.1 Узловые базисные функции

Рассмотрим функцию  $f(\xi)$ , заданную в области  $D$ . Внутри этой области зададим  $N$  узловых точек  $\xi_i, i = \overline{0, N-1}$ . Приближение функции  $f$  будем искать в виде

$$f(\xi) \approx \sum_{i=0}^{N-1} f_i \phi_i(\xi), \quad (\text{A.15})$$

где  $f_i = f(\xi_i)$ ,  $\phi_i$  – узловая базисная функция. Потребуем, чтобы это выражение выполнялось точно для всех заданных узлов интерполяции  $\xi = \xi_i$ . Тогда, исходя из определения (A.15), запишем условие на узловую базисную функцию

$$\phi_i(\xi_j) = \begin{cases} 1, & i = j, \\ 0, & i \neq j. \end{cases} \quad (\text{A.16})$$

Дополнительно потребуем, чтобы формула (A.15) была точной для постоянных функций

$$f(\xi) = \text{const} \quad \Rightarrow \quad f_i = \text{const}.$$

Тогда для любого  $\xi$  должно выполняться условие

$$\sum_{i=0}^{N-1} \phi_i(\xi) = 1, \quad \xi \in D. \quad (\text{A.17})$$

Задача построения интерполяционной функции состоит в конкретном определении узловых базисов  $\phi_i(\xi)$  по заданному набору узловых точек  $\xi_i$  и значениям функции в них  $f_i$ . Будем искать базисы в виде многочленов вида

$$\phi_i(\xi) = \sum_a A_i^{(a)} \xi^a = A_i^{(0)} + A_i^{(1)} \xi + A_i^{(2)} \xi^2 + \dots, \quad i = \overline{0, N-1}. \quad (\text{A.18})$$

Определять коэффициенты  $A_i^{(a)}$  будем из условий (A.16), которое даёт  $N$  линейных уравнений относительно неизвестных  $A_i^{(a)}$  для каждого  $i = \overline{0, N-1}$ . Таким образом, в выражениях (A.18) должно быть ровно  $N$  слагаемых. Будем использовать последовательный набор степеней:  $a = \overline{0, N-1}$ . Выпишем систему линейных уравнений для 0-ой базисной функции

$$\begin{aligned} \phi_0(\xi_0) &= A_0^{(0)} + A_0^{(1)} \xi_0 + A_0^{(2)} \xi_0^2 + A_0^{(3)} \xi_0^3 + \dots = 1, \\ \phi_0(\xi_1) &= A_0^{(0)} + A_0^{(1)} \xi_1 + A_0^{(2)} \xi_1^2 + A_0^{(3)} \xi_1^3 + \dots = 0, \\ \phi_0(\xi_2) &= A_0^{(0)} + A_0^{(1)} \xi_2 + A_0^{(2)} \xi_2^2 + A_0^{(3)} \xi_2^3 + \dots = 0, \\ &\dots \end{aligned}$$

или в матричном виде

$$\begin{pmatrix} 1 & \xi_0 & \xi_0^2 & \xi_0^3 & \dots \\ 1 & \xi_1 & \xi_1^2 & \xi_1^3 & \dots \\ 1 & \xi_2 & \xi_2^2 & \xi_2^3 & \dots \\ 1 & \xi_3 & \xi_3^2 & \xi_3^3 & \dots \\ \dots & & & & \end{pmatrix} \begin{pmatrix} A_0^{(0)} \\ A_0^{(1)} \\ A_0^{(2)} \\ A_0^{(3)} \\ \vdots \end{pmatrix} = \begin{pmatrix} 1 \\ 0 \\ 0 \\ 0 \\ \vdots \end{pmatrix}$$

Записывая аналогичные выражения для остальных базисных функций, получим систему матричных уравнений вида  $CA = E$ :

$$\begin{pmatrix} 1 & \xi_0 & \xi_0^2 & \xi_0^3 & \dots \\ 1 & \xi_1 & \xi_1^2 & \xi_1^3 & \dots \\ 1 & \xi_2 & \xi_2^2 & \xi_2^3 & \dots \\ 1 & \xi_3 & \xi_3^2 & \xi_3^3 & \dots \\ \dots & & & & \end{pmatrix} \begin{pmatrix} A_0^{(0)} & A_1^{(0)} & A_2^{(0)} & A_3^{(0)} & \dots \\ A_0^{(1)} & A_1^{(1)} & A_2^{(1)} & A_3^{(1)} & \dots \\ A_0^{(2)} & A_1^{(2)} & A_2^{(2)} & A_3^{(2)} & \dots \\ A_0^{(3)} & A_1^{(3)} & A_2^{(3)} & A_3^{(3)} & \dots \\ \vdots & & & & \end{pmatrix} = \begin{pmatrix} 1 & 0 & 0 & 0 & \dots \\ 0 & 1 & 0 & 0 & \dots \\ 0 & 0 & 1 & 0 & \dots \\ 0 & 0 & 0 & 1 & \dots \\ \vdots & & & & \end{pmatrix}$$

Отсюда матрица неизвестных коэффициентов  $A$  определится как

$$A = C^{-1} = \begin{pmatrix} 1 & \xi_0 & \xi_0^2 & \xi_0^3 & \dots \\ 1 & \xi_1 & \xi_1^2 & \xi_1^3 & \dots \\ 1 & \xi_2 & \xi_2^2 & \xi_2^3 & \dots \\ 1 & \xi_3 & \xi_3^2 & \xi_3^3 & \dots \\ \dots & & & & \end{pmatrix}^{-1}. \quad (\text{A.19})$$

Подставляя полином (A.18) в условие согласованности (A.17), получим требование

$$\sum_{i=0}^{N-1} A_i^{(a)} = \begin{cases} 1, & a = 0, \\ 0, & a = \overline{1, N-1}. \end{cases}$$

То есть сумма всех свободных членов в интерполяционных полиномах должна быть равна единице, а сумма коэффициентов при остальных степенях – нулю. Можно показать, что это свойство выполняется для любой матрицы  $A = C^{-1}$ , в случае, если первый столбец матрицы  $C$  состоит из единиц. То есть условие согласованности требует наличие свободного члена с интерполяционным полиномом.

### A.3.1.2 Интерполяция в параметрическом отрезке

Будем рассматривать область интерполяции  $D = [-1, 1]$ . В качестве первых двух узлов интерполяции возьмем границы области:  $\xi_0 = -1$ ,  $\xi_1 = 1$ .

**Линейный базис** Будем искать интерполяционный базис в виде

$$\phi_i(\xi) = A_i^{(0)} + A_i^{(1)}\xi.$$

на основе двух условий:

$$\phi_i(-1) = A_i^{(0)} - A_i^{(1)} = \delta_{0i}, \quad \phi_i(1) = A_i^{(0)} + A_i^{(1)} \delta_{1i}.$$

Составим матрицу  $C$ , записав эти условия в матричном виде

$$C = \left( \begin{array}{c|cc} & A^{(0)} & A^{(1)} \\ \hline \phi(-1) & 1 & -1 \\ \phi(1) & 1 & 1 \end{array} \right)$$

и, согласно (A.19), найдём матрицу коэффициентов

$$A = \begin{pmatrix} A_0^{(0)} & A_1^{(0)} \\ A_0^{(1)} & A_1^{(1)} \end{pmatrix} = C^{-1} = \begin{pmatrix} & \phi_0 & \phi_1 \\ \hline 1 & \frac{1}{2} & \frac{1}{2} \\ \xi & -\frac{1}{2} & \frac{1}{2} \end{pmatrix}.$$

Отсюда узловые базисные функции примут вид (рис. 2)

$$\begin{aligned} \phi_0(\xi) &= \frac{1-\xi}{2}, \\ \phi_1(\xi) &= \frac{1+\xi}{2}. \end{aligned} \tag{A.20}$$

Окончательно интерполяционная функция из определения (A.15) примет вид

$$f(\xi) \approx \frac{1-\xi}{2}f(-1) + \frac{1+\xi}{2}f(1).$$

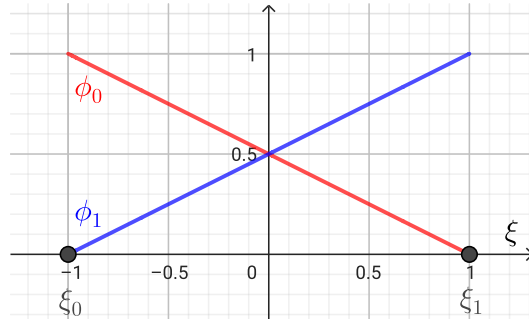


Рис. 2: Линейный базис в параметрическом отрезке

**Квадратичный базис** Будем искать интерполяционный базис в виде

$$\phi_i(\xi) = A_i^{(0)} + A_i^{(1)}\xi + A_i^{(2)}\xi^2.$$

По сравнению с линейным случаем, в форму базиса добавился ещё один неизвестный коэффициент  $A_i^{(2)}$ , поэтому в набор условий (A.16) требуется ещё одно уравнение (ещё одна узловая точка). Поче-

стим её в центр параметрического сегмента  $\xi_2 = 0$ . Далее будем действовать по аналогии с линейным случаем:

$$C = \left( \begin{array}{c|ccc} & A^{(0)} & A^{(1)} & A^{(2)} \\ \hline \phi(-1) & 1 & -1 & 1 \\ \phi(1) & 1 & 1 & 1 \\ \phi(0) & 1 & 0 & 0 \end{array} \right) \Rightarrow A = C^{-1} = \left( \begin{array}{c|ccc} & \phi_0 & \phi_1 & \phi_2 \\ \hline 1 & 0 & 0 & 1 \\ \xi & -\frac{1}{2} & \frac{1}{2} & 0 \\ \xi^2 & \frac{1}{2} & \frac{1}{2} & -1 \end{array} \right).$$

Узловые базисные функции для квадратичной интерполяции примут вид (рис. 3)

$$\begin{aligned} \phi_0(\xi) &= \frac{\xi^2 - \xi}{2}, \\ \phi_1(\xi) &= \frac{\xi^2 + \xi}{2}, \\ \phi_2(\xi) &= 1 - \xi^2. \end{aligned} \tag{A.21}$$

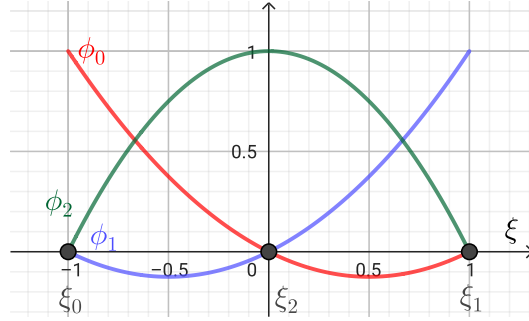


Рис. 3: Квадратичный базис в параметрическом отрезке

**Кубический базис** Интерполяционный базис будет иметь вид

$$\phi_i(\xi) = A_i^{(0)} + A_i^{(1)}\xi + A_i^{(2)}\xi^2 + A_i^{(3)}\xi^3.$$

Для нахождения четырёх коэффициентов нам понадобится четыре узла интерполяции. Две из них – это границы параметрического отрезка. Остальные две разместим так, чтобы разбить отрезок на равные интервалы:  $\xi_2 = -\frac{1}{3}$ ,  $\xi_3 = \frac{1}{3}$ . Далее вычислим матрицу коэффициентов:

$$C = \left( \begin{array}{c|cccc} & A^{(0)} & A^{(1)} & A^{(2)} & A^{(3)} \\ \hline \phi(-1) & 1 & -1 & 1 & -1 \\ \phi(1) & 1 & 1 & 1 & 1 \\ \phi(-\frac{1}{3}) & 1 & -\frac{1}{3} & \frac{1}{9} & -\frac{1}{27} \\ \phi(\frac{1}{3}) & 1 & \frac{1}{3} & \frac{1}{9} & \frac{1}{27} \end{array} \right) \Rightarrow A = C^{-1} = \frac{1}{16} \left( \begin{array}{c|cccc} & \phi_0 & \phi_1 & \phi_2 & \phi_3 \\ \hline 1 & -1 & -1 & 9 & 9 \\ \xi & 1 & -1 & -27 & 27 \\ \xi^2 & 9 & 9 & -9 & -9 \\ \xi^3 & -9 & 9 & 27 & -27 \end{array} \right)$$

Узловые базисные функции для квадратичной интерполяции примут вид (рис. 4)

$$\begin{aligned}
 \phi_0(\xi) &= \frac{1}{16} (-1 + \xi + 9\xi^2 - 9\xi^3), \\
 \phi_1(\xi) &= \frac{1}{16} (-1 - \xi + 9\xi^2 + 9\xi^3), \\
 \phi_2(\xi) &= \frac{1}{16} (9 - 27\xi - 9\xi^2 + 27\xi^3), \\
 \phi_3(\xi) &= \frac{1}{16} (9 + 27\xi - 9\xi^2 - 27\xi^3),
 \end{aligned} \tag{A.22}$$

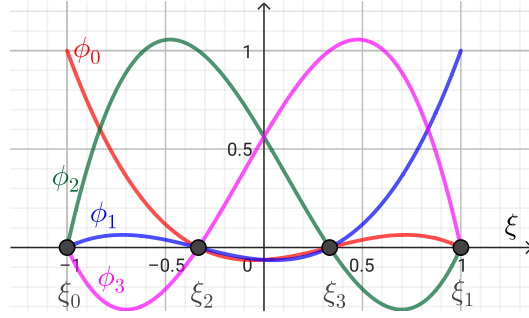


Рис. 4: Кубический базис в параметрическом отрезке

На рис. 5 представлено сравнение результатов аппроксимации функции  $f(x) = -x + \sin(2x + 1)$  линейным, квадратичным и кубическим базисом. Видно, что все интерполяционные приближения точно попадают в функцию в своих узлах интерполяции, а между узлами происходит аппроксимация полиномом соответствующей степени.

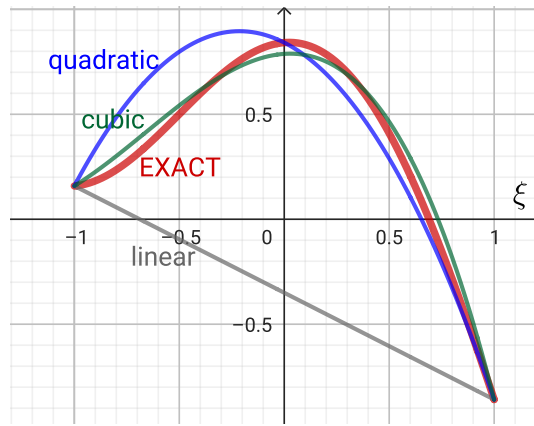


Рис. 5: Результат интерполяции

### А.3.1.3 Интерполяция в параметрическом треугольнике

Теперь рассмотрим двумерное обобщение формулы

#### Линейный базис

$$\phi_i(\xi, \eta) = A_i^{(00)} + A_i^{(10)}\xi + A_i^{(01)}\eta.$$

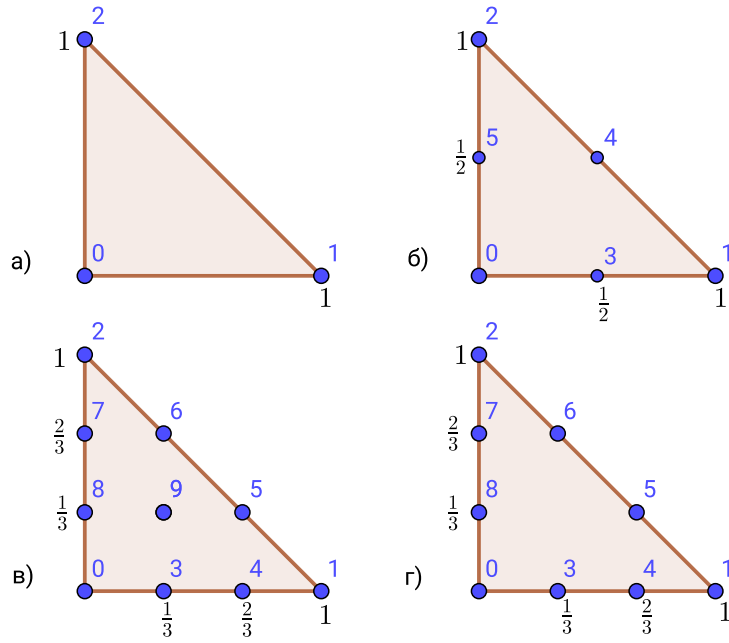


Рис. 6: Расположение узловых точек в параметрическом треугольнике. а) линейный базис, б) квадратичный базис, в) кубический базис, г) неполный кубический базис

$$C = \left( \begin{array}{c|ccc} & A^{(00)} & A^{(10)} & A^{(01)} \\ \hline \phi(0,0) & 1 & 0 & 0 \\ \phi(1,0) & 1 & 1 & 0 \\ \phi(0,1) & 1 & 0 & 1 \end{array} \right) \Rightarrow A = C^{-1} = \left( \begin{array}{c|ccc} & \phi_0 & \phi_1 & \phi_2 \\ \hline 1 & 1 & 0 & 0 \\ \xi & -1 & 1 & 0 \\ \eta & -1 & 0 & 1 \end{array} \right)$$

$$\begin{aligned} \phi_0(\xi, \eta) &= 1 - \xi - \eta, \\ \phi_1(\xi, \eta) &= \xi, \\ \phi_2(\xi, \eta) &= \eta, \end{aligned} \tag{A.23}$$

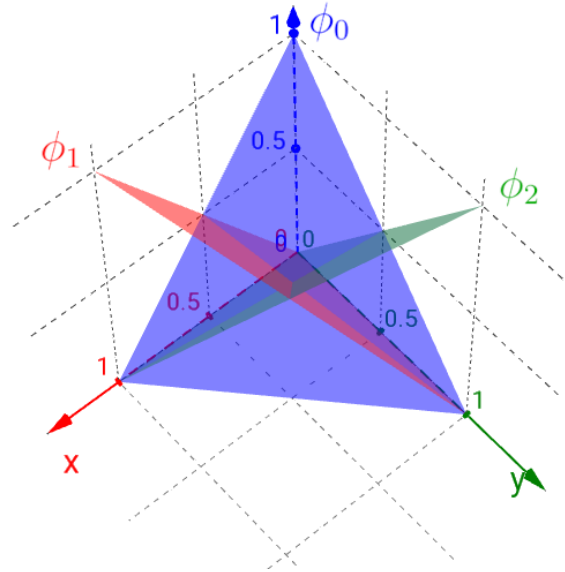


Рис. 7: Линейный базис в параметрическом треугольнике

## Квадратичный базис

$$\phi_i(\xi, \eta) = A_i^{(00)} + A_i^{(10)}\xi + A_i^{(01)}\eta + A_i^{(11)}\xi\eta + A_i^{(20)}\xi^2 + A_i^{(02)}\eta^2.$$

$$C = \left( \begin{array}{c|cccccc} & A^{(00)} & A^{(10)} & A^{(01)} & A^{(11)} & A^{(20)} & A^{(02)} \\ \hline \phi(0,0) & 1 & 0 & 0 & 0 & 0 & 0 \\ \phi(1,0) & 1 & 1 & 0 & 0 & 1 & 0 \\ \phi(0,1) & 1 & 0 & 1 & 0 & 0 & 1 \\ \phi(\frac{1}{2},0) & 1 & \frac{1}{2} & 0 & 0 & \frac{1}{4} & 0 \\ \phi(\frac{1}{2},\frac{1}{2}) & 1 & \frac{1}{2} & \frac{1}{2} & \frac{1}{4} & \frac{1}{4} & \frac{1}{4} \\ \phi(0,\frac{1}{2}) & 1 & 0 & \frac{1}{2} & 0 & 0 & \frac{1}{4} \end{array} \right) \Rightarrow A = \left( \begin{array}{c|cccccc} & \phi_0 & \phi_1 & \phi_2 & \phi_3 & \phi_4 & \phi_5 \\ \hline 1 & 1 & 0 & 0 & 0 & 0 & 0 \\ \xi & -3 & -1 & 0 & 4 & 0 & 0 \\ \eta & -3 & 0 & -1 & 0 & 0 & 4 \\ \xi\eta & 4 & 0 & 0 & -4 & 4 & -4 \\ \xi^2 & 2 & 2 & 0 & -4 & 0 & 0 \\ \eta^2 & 2 & 0 & 2 & 0 & 0 & -4 \end{array} \right)$$

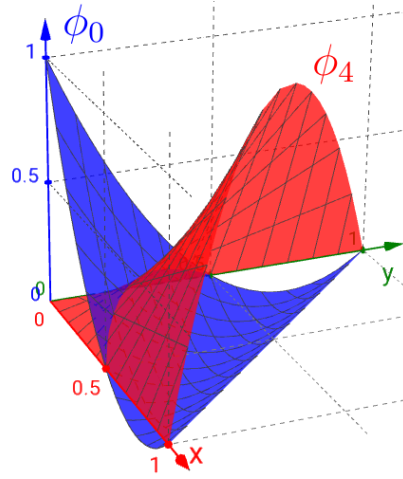


Рис. 8: Квадратичные функции  $\phi_0, \phi_4$  в параметрическом треугольнике

Кубический базис    TODO

Неполный кубический базис    TODO

### А.3.1.4 Интерполяция в параметрическом квадрате

Билинейный базис

$$\phi_i = A_i^{00} + A_i^{10}\xi + A_i^{01}\eta + A_i^{11}\xi\eta.$$

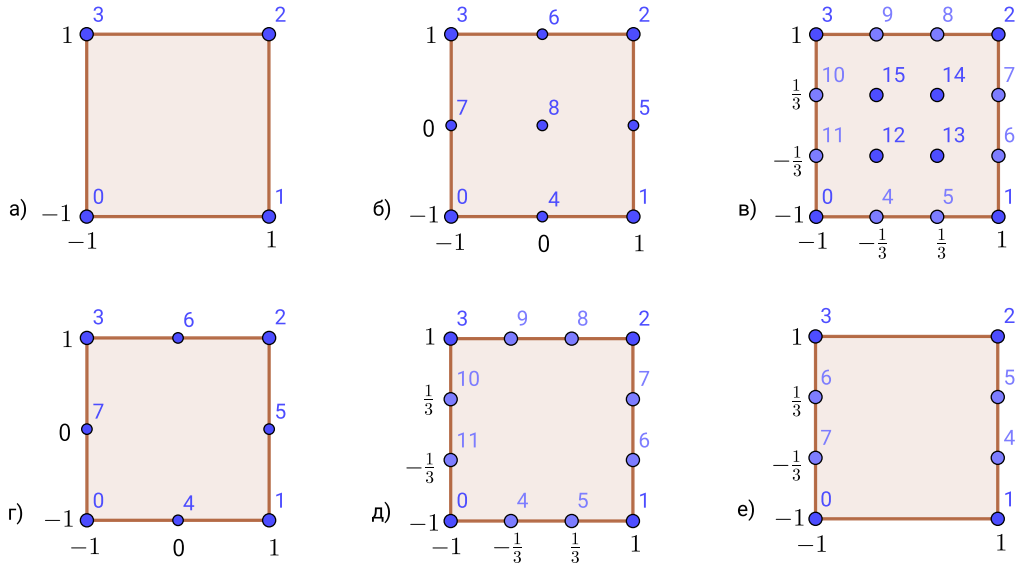


Рис. 9: Расположение узловых точек в параметрическом квадрате

$$C = \left( \begin{array}{c|cccc} & A^{(00)} & A^{(10)} & A^{(01)} & A^{(11)} \\ \hline \phi(-1, -1) & 1 & -1 & -1 & 1 \\ \phi(1, -1) & 1 & 1 & -1 & -1 \\ \phi(1, 1) & 1 & 1 & 1 & 1 \\ \phi(-1, 1) & 1 & -1 & 1 & -1 \end{array} \right) \Rightarrow A = C^{-1} = \frac{1}{4} \left( \begin{array}{c|cccc} & \phi_0 & \phi_1 & \phi_2 & \phi_3 \\ \hline 1 & 1 & 1 & 1 & 1 \\ \xi & -1 & 1 & 1 & -1 \\ \eta & -1 & -1 & 1 & 1 \\ \xi\eta & 1 & -1 & 1 & -1 \end{array} \right)$$

$$\phi_0(\xi, \eta) = \frac{1 - \xi - \eta + \xi\eta}{4}$$

$$\phi_1(\xi, \eta) = \frac{1 + \xi - \eta - \xi\eta}{4}$$

$$\phi_2(\xi, \eta) = \frac{1 + \xi + \eta + \xi\eta}{4}$$

$$\phi_3(\xi, \eta) = \frac{1 - \xi + \eta - \xi\eta}{4}$$

(A.24)

**Определение двумерных базисов через комбинацию одномерных** Обратим внимание, что в искомые билинейные базисные функции линейны в каждом из направлений  $\xi, \eta$ , если брать их по отдельности. Значит можно представить эти функции как комбинацию одномерных линейных базисов (A.20) в каждом из направлений. Узлы двумерного параметрического квадрата можно выразить через узлы линейного базиса в параметрическом одномерном сегменте, рассмотренном в п. A.3.1.2:

$$\xi_0 = (\xi_0^{1D}, \xi_0^{1D}), \quad \xi_1 = (\xi_1^{1D}, \xi_0^{1D}), \quad \xi_2 = (\xi_1^{1D}, \xi_1^{1D}), \quad \xi_3 = (\xi_0^{1D}, \xi_1^{1D}).$$



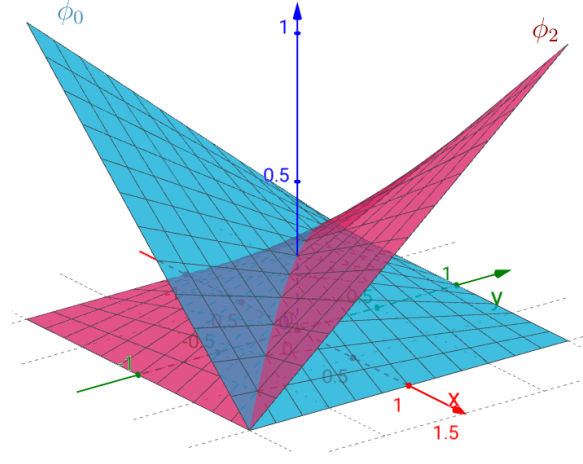


Рис. 10: Билинейные функции  $\phi_0, \phi_2$  в параметрическом квадрате

Значит и соответствующие базисные функции можно выразить через линейный одномерный базис  $\phi^{1D}$  из соотношений (A.20):

$$\begin{aligned}\phi_0(\xi, \eta) &= \phi_0^{1D}(\xi)\phi_0^{1D}(\eta) = \frac{1-\xi}{2} \frac{1-\eta}{2}, \\ \phi_1(\xi, \eta) &= \phi_1^{1D}(\xi)\phi_0^{1D}(\eta) = \frac{1+\xi}{2} \frac{1-\eta}{2}, \\ \phi_2(\xi, \eta) &= \phi_1^{1D}(\xi)\phi_1^{1D}(\eta) = \frac{1+\xi}{2} \frac{1+\eta}{2}, \\ \phi_3(\xi, \eta) &= \phi_0^{1D}(\xi)\phi_1^{1D}(\eta) = \frac{1-\xi}{2} \frac{1+\eta}{2}.\end{aligned}$$

Раскрыв скобки можно убедиться, что мы получили тот же билинейный базис, что и ранее (A.24).

**Биквадратичный базис** Применим этот метод для вычисления биквадратичного базиса, определённого в точках на рис. 9б. В качестве основе возьмём квадратичный одномерный базис  $\phi_i^{1D}$  из (A.21).

$$\begin{aligned}\phi_0(\xi, \eta) &= \phi_0^{1D}(\xi)\phi_0^{1D}(\eta) = \frac{\xi^2 - \xi}{2} \frac{\eta^2 - \eta}{2}, & \phi_1(\xi, \eta) &= \phi_1^{1D}(\xi)\phi_0^{1D}(\eta) = \frac{\xi^2 + \xi}{2} \frac{\eta^2 - \eta}{2}, \\ \phi_2(\xi, \eta) &= \phi_1^{1D}(\xi)\phi_1^{1D}(\eta) = \frac{\xi^2 + \xi}{2} \frac{\eta^2 + \eta}{2}, & \phi_3(\xi, \eta) &= \phi_0^{1D}(\xi)\phi_1^{1D}(\eta) = \frac{\xi^2 - \xi}{2} \frac{\eta^2 + \eta}{2}, \\ \phi_4(\xi, \eta) &= \phi_2^{1D}(\xi)\phi_0^{1D}(\eta) = (1 - \xi^2) \frac{\eta^2 - \eta}{2}, & \phi_5(\xi, \eta) &= \phi_1^{1D}(\xi)\phi_2^{1D}(\eta) = \frac{\xi^2 + \xi}{2} (1 - \eta^2), \\ \phi_6(\xi, \eta) &= \phi_2^{1D}(\xi)\phi_1^{1D}(\eta) = (1 - \xi^2) \frac{\eta^2 + \eta}{2}, & \phi_7(\xi, \eta) &= \phi_0^{1D}(\xi)\phi_2^{1D}(\eta) = \frac{\xi^2 - \xi}{2} (1 - \eta^2), \\ \phi_8(\xi, \eta) &= \phi_2^{1D}(\xi)\phi_2^{1D}(\eta) = (1 - \xi^2)(1 - \eta^2).\end{aligned}\tag{A.25}$$

**Бикубический базис**

**Неполный биквадратичный базис**

**Неполный бикубический базис**

## А.4 Геометрические алгоритмы

### А.4.1 Линейная интерполяция

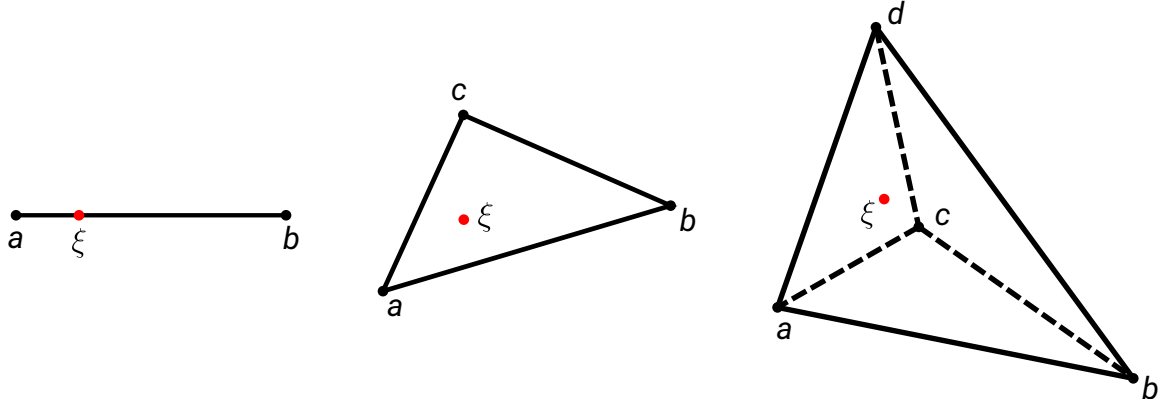


Рис. 11: Порядок нумерации точек одномерного, двумерного и трёхмерного симплекса при линейной интерполяции

Пусть функция  $u$  задана в узлах симплекса, имеющего нумерацию согласно рис. 11. Необходимо найти значение этой функции в точке  $\xi$  (эта точка вообще говоря не обязана лежать внутри симплекса).

Интерполяция в одномерном, двумерном и трёхмерном виде запишется как

$$u(\xi) = \frac{|\Delta_{\xi a}|u(b) + |\Delta_{b\xi}|u(a)}{|\Delta_{ba}|} \quad (\text{A.26})$$

$$u(\xi) = \frac{|\Delta_{ab\xi}|u(c) + |\Delta_{bc\xi}|u(a) + |\Delta_{ca\xi}|u(b)}{|\Delta_{abc}|} \quad (\text{A.27})$$

$$u(\xi) = \frac{|\Delta_{abc\xi}|u(d) + |\Delta_{cbd\xi}|u(a) + |\Delta_{cda\xi}|u(b) + |\Delta_{adb\xi}|u(c)}{|\Delta_{abcd}|}, \quad (\text{A.28})$$

где  $|\Delta|$  – знаковый объём симплекса, вычисляемый как

$$|\Delta_{ab}| = b - a,$$

$$|\Delta_{abc}| = \left( \frac{(\mathbf{b} - \mathbf{a}) \times (\mathbf{c} - \mathbf{a})}{2} \right)_z,$$

$$|\Delta_{abcd}| = \frac{(\mathbf{b} - \mathbf{a}) \cdot ((\mathbf{c} - \mathbf{a}) \times (\mathbf{d} - \mathbf{a}))}{6}.$$

### А.4.2 Преобразование координат

Рассмотрим преобразование из двумерной параметрической системы координат  $\xi$  в физическую систему  $\mathbf{x}$ . Такое преобразование полностью определяется покоординатными функциями  $\mathbf{x}(\xi)$ . Далее получим соотношения, связывающие операции дифференцирования и интегрирования в физической и параметрической областях.

### А.4.2.1 Матрица Якоби

Будем рассматривать двумерное преобразование  $(\xi, \eta) \rightarrow (x, y)$ . Линеаризуем это преобразование (разложим в ряд Фурье до линейного слагаемого)

$$\begin{aligned} x(\xi_0 + d\xi, \eta_0 + d\eta) &\approx x_0 + \left. \frac{\partial x}{\partial \xi} \right|_{\xi_0, \eta_0} d\xi + \left. \frac{\partial x}{\partial \eta} \right|_{\xi_0, \eta_0} d\eta, \\ y(\xi_0 + d\xi, \eta_0 + d\eta) &\approx y_0 + \left. \frac{\partial y}{\partial \xi} \right|_{\xi_0, \eta_0} d\xi + \left. \frac{\partial y}{\partial \eta} \right|_{\xi_0, \eta_0} d\eta, \end{aligned}$$

где  $x_0 = x(\xi_0, \eta_0)$ ,  $y_0 = y(\xi_0, \eta_0)$ . Переписывая это выражение в векторном виде, получим

$$\mathbf{x}(\xi_0 + d\xi) - \mathbf{x}_0 = J(\xi_0) d\xi. \quad (\text{A.29})$$

Матрица  $J$  (зависящая от точки приложения в параметрической плоскости) называется матрицей Якоби:

$$J = \begin{pmatrix} J_{11} & J_{12} \\ J_{21} & J_{22} \end{pmatrix} = \begin{pmatrix} \frac{\partial x}{\partial \xi} & \frac{\partial x}{\partial \eta} \\ \frac{\partial y}{\partial \xi} & \frac{\partial y}{\partial \eta} \end{pmatrix} \quad (\text{A.30})$$

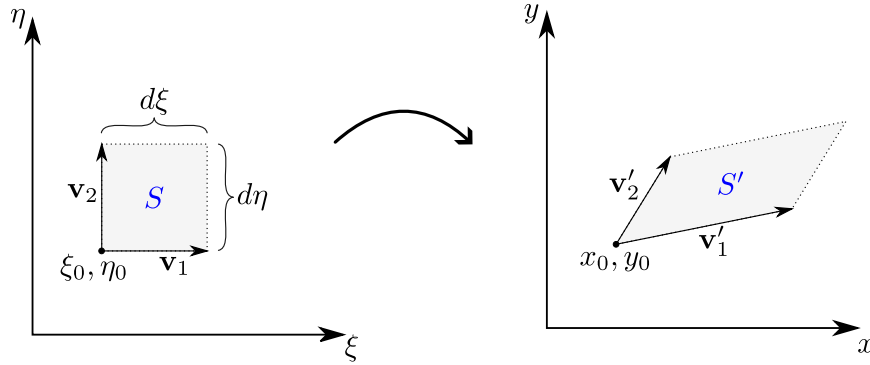


Рис. 12: Преобразование элементарного объёма

**Якобиан** Определитель матрицы Якоби (якобиан), взятый в конкретной точке параметрической плоскости  $\xi_0$ , показывает, во сколько раз увеличился элементарный объём около этой точки в результате преобразования. Действительно, рассмотрим два перпендикулярных элементарных вектора в параметрической системе координат:  $\mathbf{v}_1 = (d\xi, 0)$  и  $\mathbf{v}_2 = (0, d\eta)$  отложенных от точки  $\xi_0$  (см. рис. 12). В результате преобразования по формуле (A.29) получим следующие преобразования концевых точек и векторов:

$$\begin{aligned} (\xi_0, \eta_0) &\rightarrow (x_0, y_0), \\ (\xi_0 + d\xi, \eta_0) &\rightarrow (x_0 + J_{11}d\xi, y_0 + J_{21}d\xi) \Rightarrow \mathbf{v}_1 \rightarrow \mathbf{v}'_1 = (J_{11}d\xi, J_{21}d\xi), \\ (\xi_0, \eta_0 + d\eta) &\rightarrow (x_0 + J_{12}d\eta, y_0 + J_{22}d\eta) \Rightarrow \mathbf{v}_2 \rightarrow \mathbf{v}'_2 = (J_{12}d\eta, J_{22}d\eta). \end{aligned}$$

Элементарный объём равен площади параллелограмма, построенного на элементарных векторах. В параметрической плоскости согласно (A.4) получим

$$|S| = \mathbf{v}_1 \times \mathbf{v}_2 = d\xi d\eta,$$

и аналогично для физической плоскости:

$$|S'| = \mathbf{v}'_1 \times \mathbf{v}'_2 = (J_{11}J_{22} - J_{12}J_{21})d\xi d\eta = |J|d\xi d\eta$$

Сравнивая два последних соотношения приходим к выводу, что элементарный объём в результате преобразования увеличился в  $|J|$  раз. Тогда можно записать

$$dx dy = |J| d\xi d\eta \quad (\text{A.31})$$

Многомерным обобщением этой формулы будет

$$d\mathbf{x} = |J| d\xi \quad (\text{A.32})$$

#### A.4.2.2 Дифференцирование в параметрической плоскости

Пусть задана некоторая функция  $f(x, y)$ . Распишем её производную по параметрическим координатам:

$$\begin{aligned} \frac{\partial f}{\partial \xi} &= \frac{\partial f}{\partial x} \frac{\partial x}{\partial \xi} + \frac{\partial f}{\partial y} \frac{\partial y}{\partial \xi}, \\ \frac{\partial f}{\partial \eta} &= \frac{\partial f}{\partial x} \frac{\partial x}{\partial \eta} + \frac{\partial f}{\partial y} \frac{\partial y}{\partial \eta}. \end{aligned}$$

Вспоминая определение (A.30), запишем

$$\begin{pmatrix} \frac{\partial f}{\partial \xi} \\ \frac{\partial f}{\partial \eta} \end{pmatrix} = J^T \begin{pmatrix} \frac{\partial f}{\partial x} \\ \frac{\partial f}{\partial y} \end{pmatrix} = \begin{pmatrix} J_{11} & J_{21} \\ J_{12} & J_{22} \end{pmatrix} \begin{pmatrix} \frac{\partial f}{\partial x} \\ \frac{\partial f}{\partial y} \end{pmatrix}$$

Обратная зависимость примет вид

$$\begin{pmatrix} \frac{\partial f}{\partial x} \\ \frac{\partial f}{\partial y} \end{pmatrix} = (J^T)^{-1} \begin{pmatrix} \frac{\partial f}{\partial \xi} \\ \frac{\partial f}{\partial \eta} \end{pmatrix} = \frac{1}{|J|} \begin{pmatrix} J_{22} & -J_{21} \\ -J_{12} & J_{11} \end{pmatrix} \begin{pmatrix} \frac{\partial f}{\partial \xi} \\ \frac{\partial f}{\partial \eta} \end{pmatrix}$$

В многомерном виде запишем

$$\nabla_{\mathbf{x}} f = (J^T)^{-1} \nabla_{\xi} f. \quad (\text{A.33})$$

#### A.4.2.3 Интегрирование в параметрической плоскости

Пусть в физической области  $\mathbf{x}$  задана область  $D_x$ . Интеграл функции  $f(\mathbf{x})$  по этой области можно расписать, используя замену (A.32)

$$\int_{D_x} f(\mathbf{x}) d\mathbf{x} = \int_{D_\xi} f(\xi) |J(\xi)| d\xi, \quad (\text{A.34})$$

где  $f(\xi) = f(\mathbf{x}(\xi))$ , а  $D_\xi$  – образ области  $D_x$  в параметрической плоскости.

#### A.4.2.4 Двумерное линейное преобразование. Параметрический треугольник

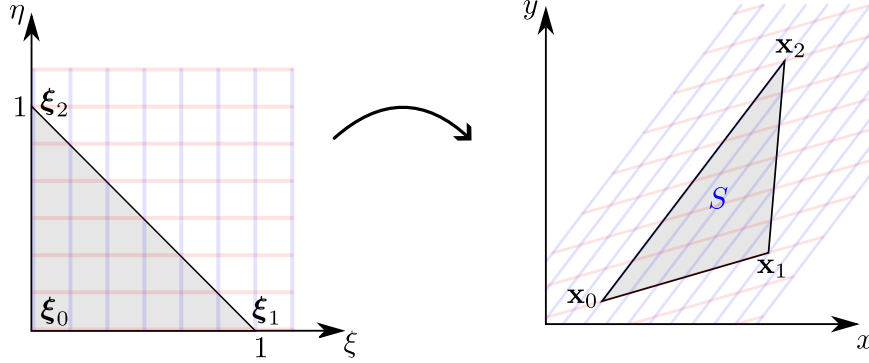


Рис. 13: Преобразование из параметрического треугольника

Рассмотрим двумерное преобразование, при котором определяющие функции являются линейными. То есть представимыми в виде

$$\begin{aligned} x(\xi, \eta) &= A_x \xi + B_x \eta + C_x, \\ y(\xi, \eta) &= A_y \xi + B_y \eta + C_y. \end{aligned}$$

Для определения шести констант, определяющих это преобразование, достаточно выбрать три любые (не лежащие на одной прямой) точки:  $(\xi_i, \eta_i) \rightarrow (x_i, y_i)$  для  $i = 0, 1, 2$ . В результате получим систему из шести линейных уравнений (три точки по две координаты), из которой находятся константы  $A_{x,y}, B_{x,y}, C_{x,y}$ . Пусть три точки в параметрической плоскости образуют единичный прямоугольный треугольник (рис. 13):

$$\xi_0, \eta_0 = (0, 0), \quad \xi_1, \eta_1 = (1, 0), \quad \xi_2, \eta_2 = (0, 1).$$

Тогда система линейных уравнений примет вид

$$\begin{aligned} x_0 &= C_x, & y_0 &= C_y, \\ x_1 &= A_x + C_x, & y_1 &= A_y + C_y, \\ y_2 &= B_x + C_x, & y_2 &= B_y + C_y. \end{aligned}$$

Определив коэффициенты преобразования из этой системы, окончательно запишем преобразование

$$\begin{aligned} x(\xi, \eta) &= (x_1 - x_0)\xi + (x_2 - x_0)\eta + x_0, \\ y(\xi, \eta) &= (y_1 - y_0)\xi + (y_2 - y_0)\eta + y_0. \end{aligned} \quad (\text{A.35})$$

Матрица Якоби этого преобразования (A.30) не будет зависеть от параметрических координат  $\xi, \eta$ :

$$J = \begin{pmatrix} x_1 - x_0 & x_2 - x_0 \\ y_1 - y_0 & y_2 - y_0 \end{pmatrix}. \quad (\text{A.36})$$

Якобиан преобразования будет равен удвоенной площади треугольника  $S$ , составленного из определяющих точек в физической плоскости:

$$|J| = (x_1 - x_0)(y_2 - y_0) - (y_1 - y_0)(x_2 - x_0) = (\mathbf{x}_1 - \mathbf{x}_0) \times (\mathbf{x}_2 - \mathbf{x}_0) = 2|S|. \quad (\text{A.37})$$

Распишем интеграл по треугольнику  $S$  по формуле (A.34). Вследствии линейности преобразования якобиан постоянен и, поэтому, его можно вынести его из-под интеграла:

$$\int_S f(x, y) dx dy = |J| \int_0^1 \int_0^{1-\xi} f(\xi, \eta) d\eta d\xi. \quad (\text{A.38})$$

#### A.4.2.5 Двумерное билинейное преобразование. Параметрический квадрат

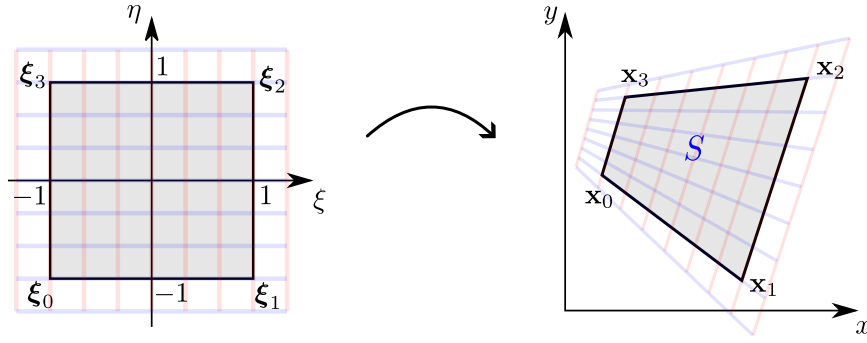


Рис. 14: Преобразование из параметрического квадрата

#### A.4.2.6 Трёхмерное линейное преобразование. Параметрический тетраэдр

TODO

#### A.4.3 Свойства многоугольника

##### A.4.3.1 Площадь многоугольника

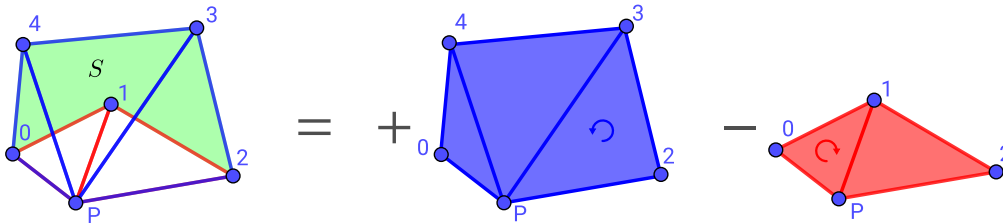


Рис. 15: Площадь произвольного многоугольника

Рассмотрим произвольный несамопересекающийся  $N$ -угольник  $S$ , заданный координатами своих узлов  $\mathbf{x}_i$ ,  $i = \overline{0, N-1}$ , пронумерованных последовательно против часовой стрелки (рис. 15). Далее введём произвольную точку  $\mathbf{p}$  и от этой точки будем строить ориентированные треугольники до граней многоугольника:

$$\triangle_i^p = (\mathbf{p}, \mathbf{x}_i, \mathbf{x}_{i+1}), \quad i = \overline{0, N-1},$$

(для корректности записи будем считать, что  $\mathbf{x}_N = \mathbf{x}_0$ ). Тогда площадь исходного многоугольника  $S$  будет равна сумме знаковых площадей треугольников  $\triangle_i^p$ :

$$|S| = \sum_{i=0}^{N-1} |\triangle_i^p|, \quad |\triangle_i^p| = \frac{(\mathbf{x}_i - \mathbf{p}) \times (\mathbf{x}_{i+1} - \mathbf{p})}{2}.$$

Знак площади ориентированного треугольника зависит от направления закрутки его узлов: она положительна для закрутки против часовой стрелки и отрицательна, если узлы пронумерованы по часовой стрелке. В частности, на рисунке 15 видно, что треугольники, отмеченные красным:  $P01, P12$ , будут иметь отрицательную площадь, а синие треугольники  $P23, P34, P40$  – положительную. Сумма этих площадей с учётом знака даст искомую площадь многоугольника.

Для сокращения вычислений воспользуемся произвольностью положения  $\mathbf{p}$  и совместим её с точкой  $\mathbf{x}_0$ . Тогда треугольники  $\triangle_0^p, \triangle_{N-1}^p$  вырождаются (будут иметь нулевую площадь). Обозначим такую последовательную триангуляцию как

$$\triangle_i = (\mathbf{x}_0, \mathbf{x}_i, \mathbf{x}_{i+1}), \quad i = \overline{1, N-2}. \quad (\text{A.39})$$

Знаковая площадь ориентированного треугольника будет равна

$$|\triangle_i| = \frac{(\mathbf{x}_i - \mathbf{x}_0) \times (\mathbf{x}_{i+1} - \mathbf{x}_0)}{2}. \quad (\text{A.40})$$

Тогда окончательно формула определения площади примет вид

$$|S| = \sum_{i=1}^{N-2} |\triangle_i|. \quad (\text{A.41})$$

**Плоский полигон в пространстве** Если плоский полигон  $S$  расположен в трёхмерном пространстве, то правая часть формулы (A.40) согласно определению векторного произведения в трёхмерном пространстве (A.3) – есть вектор. Чтобы получить скалярную площадь, нужно спроецировать этот вектор на единичную нормаль к плоскости многоугольника:

$$\mathbf{n} = \frac{\mathbf{k}}{|\mathbf{k}|}, \quad \mathbf{k} = (\mathbf{x}_1 - \mathbf{x}_0) \times (\mathbf{x}_2 - \mathbf{x}_0).$$

Эта формула записана из предположения, что узел  $\mathbf{x}_2$  не лежит на одной прямой с узлами  $\mathbf{x}_0, \mathbf{x}_1$ . Иначе вместо  $\mathbf{x}_2$  нужно выбрать любой другой узел, удовлетворяющий этому условию. Тогда площадь ориентированного треугольника, построенного в трёхмерном пространстве запишется через смешанное произведение:

$$|\triangle_i| = \frac{((\mathbf{x}_i - \mathbf{x}_0) \times (\mathbf{x}_{i+1} - \mathbf{x}_0)) \cdot \mathbf{n}}{2}. \quad (\text{A.42})$$

Формула для определения площади полигона (A.41) будет по-прежнему верна. При этом итоговый знак величины  $S$  будет положительным, если закрутка полигона положительная (против часовой стрелки) при взгляде со стороны вычисленной нормали  $\mathbf{n}$ .

#### A.4.3.2 Интеграл по многоугольнику

Рассмотрим интеграл функции  $f(x, y)$  по  $N$ -угольнику  $S$ , заданному последовательными координатами своих узлов  $\mathbf{x}_i$ . Введём последовательную триангуляцию согласно (A.39). Тогда интеграл по многоугольнику можно расписать как сумму интегралов по ориентированным треугольникам:

$$\int_S f(x, y) dx dy = \sum_{i=1}^{N-2} \int_{\Delta_i} f(x, y) dx dy. \quad (\text{A.43})$$

Далее для вычисления интегралов в правой части воспользуемся преобразованием к параметрическому треугольнику (п. A.4.2.4). Следуя формуле интегрирования (A.38), распишем интеграл по  $i$ -ому треугольнику:

$$\int_{\Delta_i} f(x, y) dx dy = |J_i| \int_0^1 \int_0^{1-\xi} f_i(\xi, \eta) d\eta d\xi,$$

где якобиан  $|J_i|$  согласно (A.37) есть удвоенная площадь ориентированного треугольника  $\Delta_i$  (положительная при закрутке против часовой стрелке и отрицательная иначе):

$$|J_i| = 2|\Delta_i| = (\mathbf{x}_i - \mathbf{x}_0) \times (\mathbf{x}_{i+1} - \mathbf{x}_0),$$

а функция  $f_i(\xi, \eta)$  есть функция от преобразованных согласно (A.35) переменных:

$$f_i(\xi, \eta) = f((\mathbf{x}_i - \mathbf{x}_0)\xi + (\mathbf{x}_{i+1} - \mathbf{x}_0)\eta + \mathbf{x}_0).$$

Окончательно запишем

$$\int_S f(x, y) dx dy = 2 \sum_{i=1}^{N-2} |\Delta_i| \int_0^1 \int_0^{1-\xi} f_i(\xi, \eta) d\eta d\xi. \quad (\text{A.44})$$

Отметим, что эта формула работает и в том случае, когда полигон расположен в трёхмерном пространстве (знаковую площадь при этом следует вычислять по (A.42)).

#### A.4.3.3 Центр масс многоугольника

По определению, координаты центра масс  $\mathbf{s}$  области  $S$  равны среднеинтегральным значениям координатных функций. То есть

$$c_x = \frac{1}{|S|} \int_S x dx dy, \quad c_y = \frac{1}{|S|} \int_S y dx dy.$$



Далее распишем интеграл в правой части через последовательную триангуляцию согласно (A.43) с учётом линейного преобразования (A.35):

$$\begin{aligned}
\int_S x \, dx dy &= \sum_{i=1}^{N-2} \int_{\Delta_i} x \, dx dy \\
&= \sum_{i=1}^{N-2} |J_i| \int_0^1 \int_0^{1-\xi} ((x_i - x_0)\xi + (x_{i+1} - x_0)\eta + x_0) \, d\eta d\xi \\
&= \sum_{i=1}^{N-2} \frac{|J_i|}{2} \frac{x_0 + x_i + x_{i+1}}{3} \\
&= \sum_{i=1}^{N-2} |\Delta_i| \frac{x_0 + x_i + x_{i+1}}{3}.
\end{aligned}$$

Итого, с учётом (A.41), координаты центра масс примут вид

$$\mathbf{c} = \frac{\sum_{i=1}^{N-2} \frac{\mathbf{x}_0 + \mathbf{x}_i + \mathbf{x}_{i+1}}{3} |\Delta_i|}{\sum_{i=1}^{N-2} |\Delta_i|}.$$

Если полигон расположен в двумерном пространстве  $xy$ , то знаковая площадь треугольников вычисляется по формуле (A.40). В случае трёхмерного пространства должна использоваться формула (A.42).

#### A.4.4 Свойства многогранника

##### A.4.4.1 Объём многогранника

TODO

##### A.4.4.2 Интеграл по многограннику

TODO

##### A.4.4.3 Центр масс многогранника

TODO

#### A.4.5 Поиск многоугольника, содержащего заданную точку

TODO

## В Работа с инфраструктурой проекта CFDCourse

В настоящем параграфе будут даны инструкции для разворачивания инфраструктуры сборки проекта для операционных систем Linux(Ubuntu) и Windows. Для других версий Linux и MacOS алгоритм останется тем же за исключением работы с менеджером пакетов (`apt` – в Ubuntu, `brew` – в MacOS, `pacman` – в ArchLinux и т.д.).

В процессе настройки будет необходимо установить систему контроля версий **Git**, систему контейнеризации **Docker** и (опционально) интегрированную среду разработки. Проект позволяет работать в любой средой разработки и даже вообще без неё. Ниже будут приведены инструкции для настройки **vscode**.

Процесс сборки и запуска программ будет осуществляться в системе, развёрнутой в докере на основе Ubuntu 24.04. В дальнейшем систему, установленную непосредственно на компьютере, будем называть хост системой. А систему, развёрнутую в докере – контейнером.

Для успешной установке на хосте должно быть около 5Гб свободного места.

## В.1 Клонирование

Для клонирования проекта на локальный компьютер необходимо установить систему контроля версий Git и открыть терминал на хост-системе в папке, в которой планируется хранить папку с репозиторием. Если в качестве этой папки будет использоваться домашняя пользовательская папка. В нижеследующих инструкциях в качестве такой папки будет использоваться домашняя папка пользователя.

### Ubuntu

Откройте терминал и в нём

```
> sudo apt install git # установка гита
> cd ~                 # переходим в папку,
                        # где будет храниться папка с репозиторием
```

### Windows

В Windows необходимо скачать и установить дистрибутив <https://github.com/git-for-windows/git/releases/download/v2.51.0.windows.1/Git-2.51.0-64-bit.exe>.

Далее откройте командную строку `cmd`. И в ней перейдите в целевую папку

```
> cd %USERPROFILE%
```

Далее необходимо клонировать репозиторий

```
> git clone https://github.com/kalininei/CFDCourse26
```

В результате в домашней папке должна появиться папка с `CFDCourse26`.

## В.2 Разворачивание контейнера

Установим докер

## Ubuntu+apt

Запустить скрипт, написанный на основе инструкций с официального сайта <https://docs.docker.com/engine/install/ubuntu/#install-using-the-repository>:

```
cd ~/CFDCourse26    # перейдём в репозиторий
./scripts/ubuntu_docker_install.sh
```

## Windows/MacOs+DockerDesktop

Скачайте и установите дистрибутив с официального сайта

- <https://docs.docker.com/desktop/setup/install/windows-install/> для Windows
- <https://docs.docker.com/desktop/setup/install/mac-install/> для MacOS

Далее следуйте процедуре установки десктопного приложения. После установки запустите **DockerDesktop**. Этап регистрации при запуске опционален и может быть пропущен.

Далее в терминале находясь в директории **CFDCourse26** развернём контейнер:

```
docker compose up --build -d
```

На этом этапе будут скачаны необходимые образы и запущен контейнер. По окончании можно убедиться, что контейнер работает

```
docker ps
```

В случае работы с **DockerDesktop** запущенный контейнер будет виден в графическом интерфейсе во вкладке **Containers**.

## В.3 Базовая разработка

Чтобы скомпилировать проект необходимо войти в терминал контейнера. Далее

```
docker ps          # Убедимся, что контейнер cfd26 запущен
docker exec -it cfd26 bash # Войдём в него
```

Папка хоста с репозиторием **CFDCourse** примонтирована к папке контейнера **/app**. Войдём туда

```
cd /app    # заходим в директорию
ls -alh    # смотрим список файлов
```

Для удобства в контейнере установлен консольный файловый менеджер

**mc**, который можно использовать для операций с файлами. Так же есть его псевдоним

**mcc**, который отличается от базового **mc** тем, что запоминает текущую директорию при выходе.

Благодаря чему его можно использовать для навигации вместо **cd**.

### В.3.1 Особенности проекта

- Проект состоит из статически линкуемой библиотеки `libcfd26.a` и исполняемого файла с тестовыми программами для этой библиотеки. Исходники библиотеки лежат в директории `src/cfd`, исходники тестов – `src/test`,
- Используется 20-ый стандарт C++,
- Сборка осуществляется в системе `smake`,
- Для написания тестов используется фреймворк `Catch2`,
- В проекте установлены жёсткие правила работы с предупреждениями компиляции, из-за которых они как обрабатываются ошибки,
- В проекте установлены форматтеры для исходных кодов на C++, python, `smake`. При сохранении любого исходного файла этих форматов в `vscode` форматтер будет вызван автоматически. Если исходники модифицировались иначе, то запустить форматтер для всех файлов проекта можно скриптом `scripts/formatall.sh` из папки `\app`.

### В.3.2 Сборка в отладочном режиме

Из папки `\app` контейнера:

```
mkdir build          # создаём папку, в которую будут строиться программа
cd build             # Заходим
cmake .. -DCMAKE_BUILD_TYPE=Debug # Строим сборочные скрипты
make -j4             # Компилируем на 4-х потоках
```

Сама папка

`build` является временной папкой для построения. Она не подключена к системе контроля версий. И может быть удалена и создана заново (например для полной гарантированной очистки кэша построения). Бинарные файлы будут построены в папку `\app\build\bin`. Для запуска тестов зайдём в эту папку:

```
cd bin
./cfd26_test          # запуск всех тестов
./cfd26_test [grid1]  # запуск единственного тест кейса
```

### В.3.3 Сборка в релизном режиме

Отличается от сборки в отладочном режиме только флагом `cmake`. Будем строить в папку `build_release`. Также от папки `\app`

```
mkdir build_release  # создаём папку
cd build_release     # Заходим
cmake .. -DCMAKE_BUILD_TYPE=RelWithDebInfo # Или просто Release,
                                           # если отладочная информация не нужна
```

```
make -j4 # Компилируем на 4-х потоках
cd bin # заходим в папку с исполняемым файлом
./cfd26_test # запуск всех тестов
./cfd26_test [grid1] # запуск единственного тест кейса
```

### В.3.4 Работа с кодом

Работать с исходными файлами можно находясь на хосте и используя любой удобный текстовый редактор. (например

`notepad++` на Windows). Порядок работы будет выглядеть следующим образом

- Редактировать исходные файлы на хосте в папке `CFDCourse26/src`
- Для сборки переключиться на терминал и выполнить вышеописанную процедуру сборки
- Если сборка не прошла из-за ошибок в коде, эти ошибки будут распечатаны в терминал с указанием файла и номера строки
- Для отладки можно использовать консольный отладчик `gdb` из терминала

## В.4 Разработка в vscode

### В.4.1 Подключение к контейнеру

Необходимо установить vscode на хосте следуя инструкциям с официального сайта <https://code.visualstudio.com/Download>. В самом vscode нужно установить расширение `Remote Explorer, Dev Containers` для удалённой разработки в контейнере. Далее нужно переключиться на вкладку Remote Explorer (см. рис. 16).

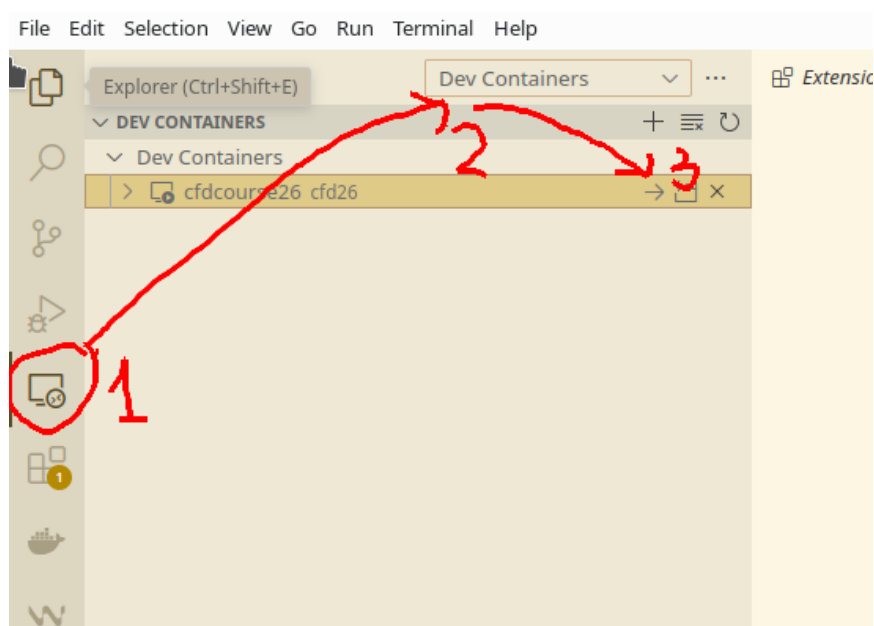


Рис. 16: Подключения vscode к контейнеру

## В.4.2 Настройки vscode

Далее необходимо открыть папку `\app`:

`File->Open Folder...` Контейнер содержит в себе базовые настройки vscode, которые при сборке контейнера копируются в папки `.vscode`, `.vscode-server`.

Следует отметить, что удалённо подключённый vscode не может пользоваться расширениями, установленными на хосте. Все необходимые расширения нужно устанавливать в контейнер заново. Список базовых расширений, необходимых для работы, уже содержится в настроечных файлах. Когда вы откроете папку `app` в vscode, вам будет предложено эти расширения установить. Нужно согласиться.

### Настроечные папки

`.vscode`, `.vscode-server` игнорируются системой контроля версий и расположены на хосте. То есть вы можете дополнительно установить туда любые свои расширения и донстроить vscode как вам удобно. Эти настройки не будут зависеть от ветки гита и не будут затираться при пересборке контейнера.

Если всё же понадобится обнулить настройки vscode, нужно

1. удалить папки `.vscode`, `.vscode_server`
2. удалить все настройки из конфигурационного файла контейнера (`ctrl+shift+p`, `open container configuration file`)
3. выйти из контейнера на vscode: `file->close remote connection`
4. остановить и пересобрать контейнер на хосте

```
docker stop cfd26
docker compose up --build -d
```

## В.4.3 Сборка и отладка

В папке `.vscode` лежат базовые таски и лаунчи для компиляции и запуска программы. В случае необходимости можете дополнить базовый набор своими командами. Согласно настройкам по умолчанию по нажатию `F5` происходит сборка программы в отладочном режиме и запуск отладки тестовой программы с прогоном всех тестов. Посмотреть результаты можно на вкладке `TERMINAL`. В случае ошибок компиляции, список этих ошибок будет виден на вкладке `PROBLEMS`.

Для отладки конкретного теста необходимо запустить тестовую программу с аргументом (например `cfd26_test [grid1]`). Чтобы передать программе аргумент нужно этот аргумент прописать в файле `.vscode/launch.json` в поле `args`. Либо создать ещё одну конфигурацию запуска с вашими аргументами и указать эту конфигурацию в настройке `Run And Debug`.

Чтобы собрать программу без запуска нужно выполнить таск (`ctrl+shift+b`):

`cmake: build debug`, `cmake: build release` для отладочного и релизного режима соответственно.

В целом сборка на vscode представляет из себя автоматизированный алгоритм, представленный в п. В.3. То есть исполняемая программа в дебаговой версии кладётся в папку `build`, в релизной – в `build_release` и её можно запустить из терминала. Удаление этих папок ведёт к полной очистке кеша построения.

## В.5 Работа с системой контроля версий

Работать с гитом можно как с хоста (из папки `CFDCourse26`), так и из контейнера (из папки `\app`). Ниже будут даны инструкции для работы с гитом в консоли. Альтернативно, можно установить графический интерфейс (например `GitExtensions` для Windows) или командами `vscode` на вкладке `Source Control`.

Из системы контроля версий исключены следующие каталоги:

- `build*/` – папки со сборками,
- `.vscode`, `.vscode-server` – настройки и расширения `vscode`,
- `local_data` – папка для хранения любых пользовательских данных.

Изменения из этих папок не будут отслежены и скоммичены.

### В.5.1 Порядок работы с репозиторием CFDCourse

Основная ветка проекта – `master`. После каждой лекции в эту ветку будет отправлен коммит с сообщением `lect{index}`. В этом коммите будет дополнен pdf документ с содержанием лекции, задание по итогам лекции и необходимые для этого задания изменения в коде.

#### В.5.1.1 Получение последнего коммита

Таким образом, **после лекции**, после того, как изменение `lect{index}` придёт на сервер, необходимо выполнить следующие команды

```
git checkout master # перейти на основную ветку
git pull            # получить изменения
```

Если изменения не содержали никаких изменений в настройках контейнера `Dockerfile`, `docker-compose.yaml`, то для сборки проекта рестарт контейнера не требуется. Иначе требуется пересобрать контейнер:

```
docker stop cfd26          # остановить текущий контейнер
docker compose up --build -d # пересобрать новый
```

#### В.5.1.2 Создание коммита с текущим дз

**Перед началом лекции**, если была сделана какая то работа по заданиям,

```
> git checkout -b hw-lect{index} # создать локальную ветку, содержащую задание
> git add .
> git commit -m "{свой комментарий}" # скоммитить свои изменения в эту ветку
```

Даже если задание выполнено не до конца, вы в любой момент можете переключиться на ветку с заданием и его доделать



```
git checkout work-lect{index}
```

### В.5.1.3 Создание коммита с прошлым дз

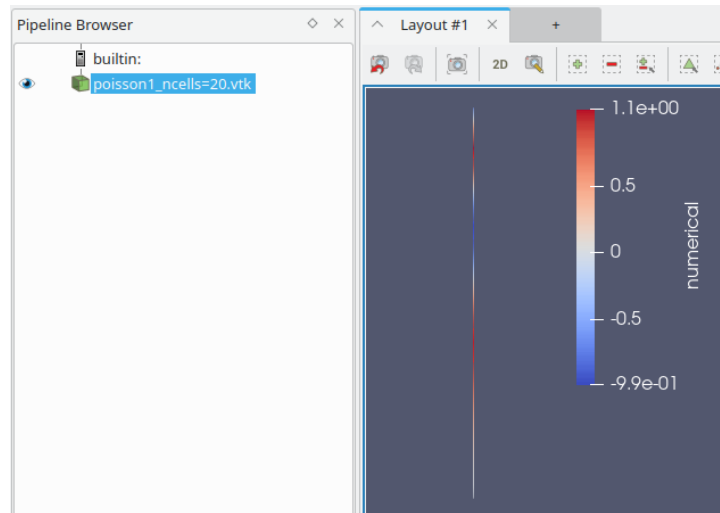
Если вы не сделали задание вовремя и решили вернуться к нему позже, то нужно

```
git checkout master          # перейти на основную ветку
git log --oneline            # в списке всех коммитов найти хэш коммита
                              # lect{index} той лекции которую нужно сделать
git checkout <...>           # переключиться на этот коммит по его хэшу
git checkout -b hw-lect{index} # создать ветку от этого коммита и работать в этой ветке
...
git commit -m "comment"      # по окончании работы скоммитить изменения
git checkout master          # и вернуться в основную ветку
```

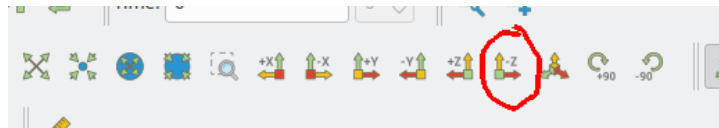
## V.6 Paraview

### V.6.1 Данные на одномерных сетках

Заданные на сетке данные паравью показывает цветом. Поэтому при загрузке одномерных сеток можно видеть картинку типа

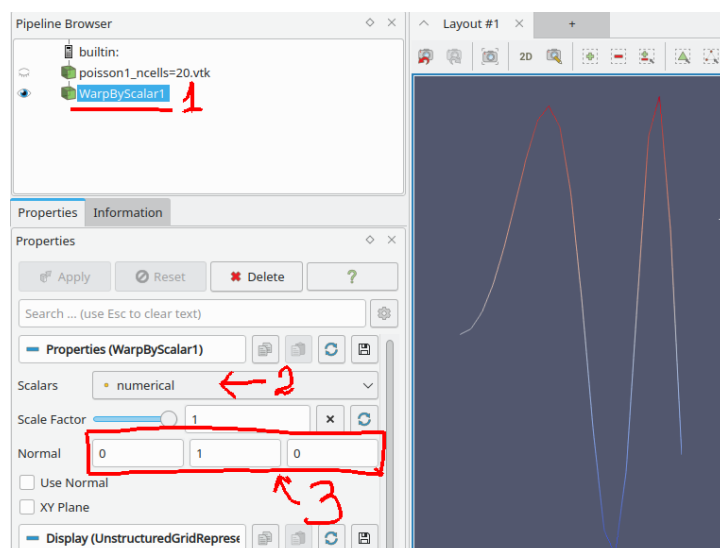


Развернуть изображение в плоскость ху



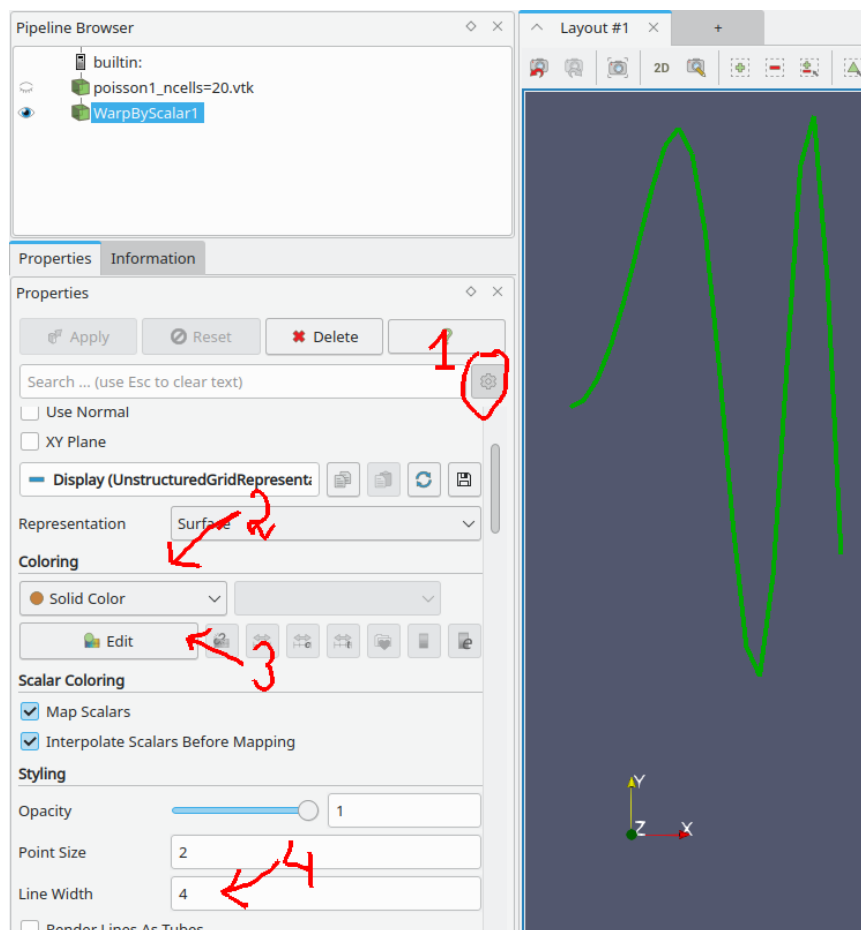
**Отобразить данные в виде у-координаты** Для того, что бы данные отображались в качестве значения по оси ординат, к загруженному файлу необходимо

1. применить фильтр **WarpByScalar** (В меню **Filters->Alphabetical->Warp By Scalar**)
2. в меню настройки фильтра указать поле данных, для отображения (numerical в примере ниже)
3. И настроить нормаль, вдоль которой будут проецироваться данные (в нашем случае ось у)



## Цвет и толщина линии

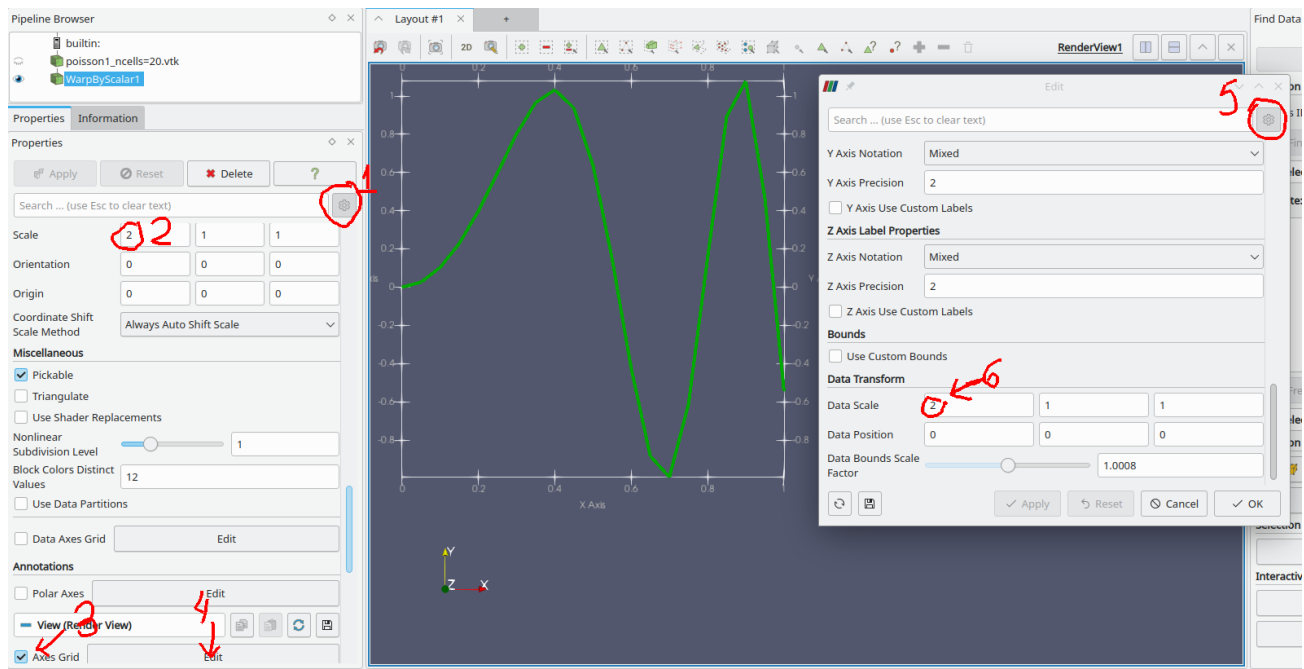
1. Включить подробные опции фильтра
2. Сменить стиль на **Solid Color**
3. В меню **Edit** выбрать желаемый цвет
4. В строке **Line Width** указать толщину линии



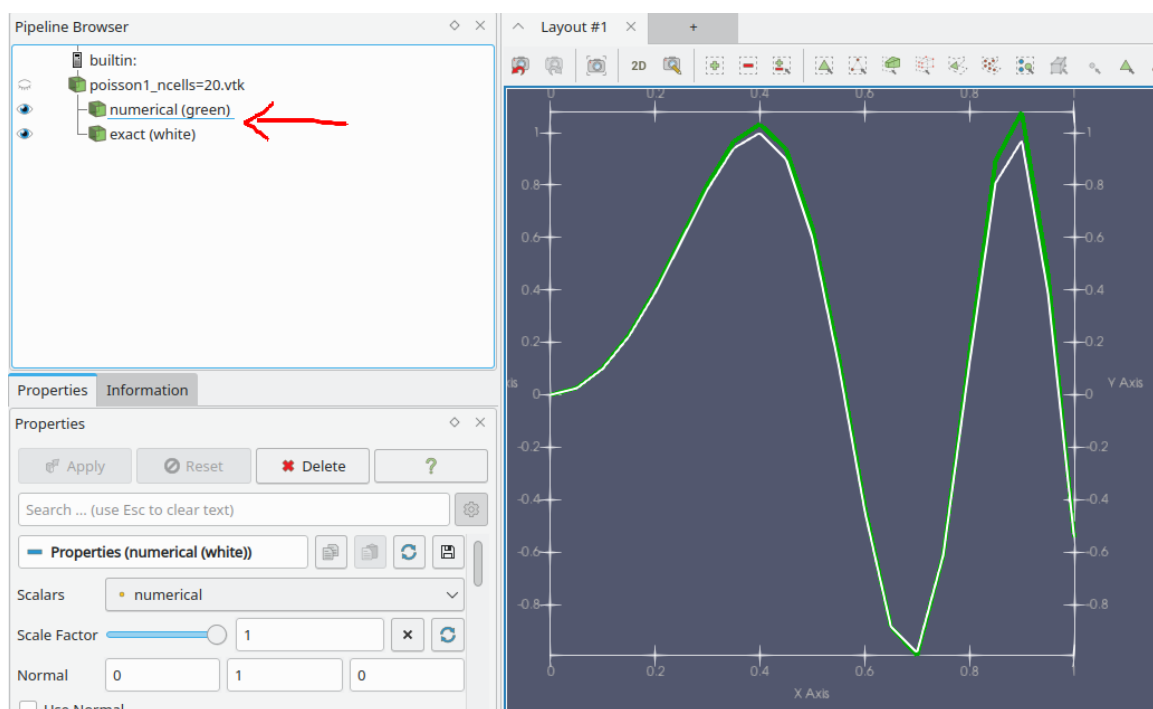
## Настройка масштабов и отображение осей координат

1. Отметьте подробные настройки фильтра
2. В поле **Transforming/Scale** Установите желаемые масштабы (в нашем случае растянуть в два раза по оси x)
3. Установите галку на отображение осей
4. откройте меню натройки осей
5. В нём включите подробные настройки
6. И также поставьте растяжение осей

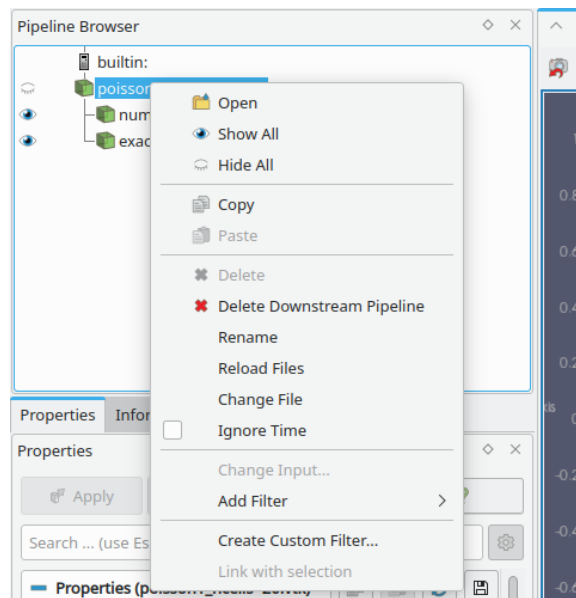
В случае, если масштабировать график не нужно, достаточно выполнить шаг 3.



**Построение графиков для нескольких данных** Если требуется нарисовать рядом несколько графиков для разных данных из одного файла, примените фильтр **Warp By Scalar** для этого файла ещё раз, изменив поле **Scalars** в настройке фильтра. Для наглядности измените имя узла в Pipeline Browser на осмысленные

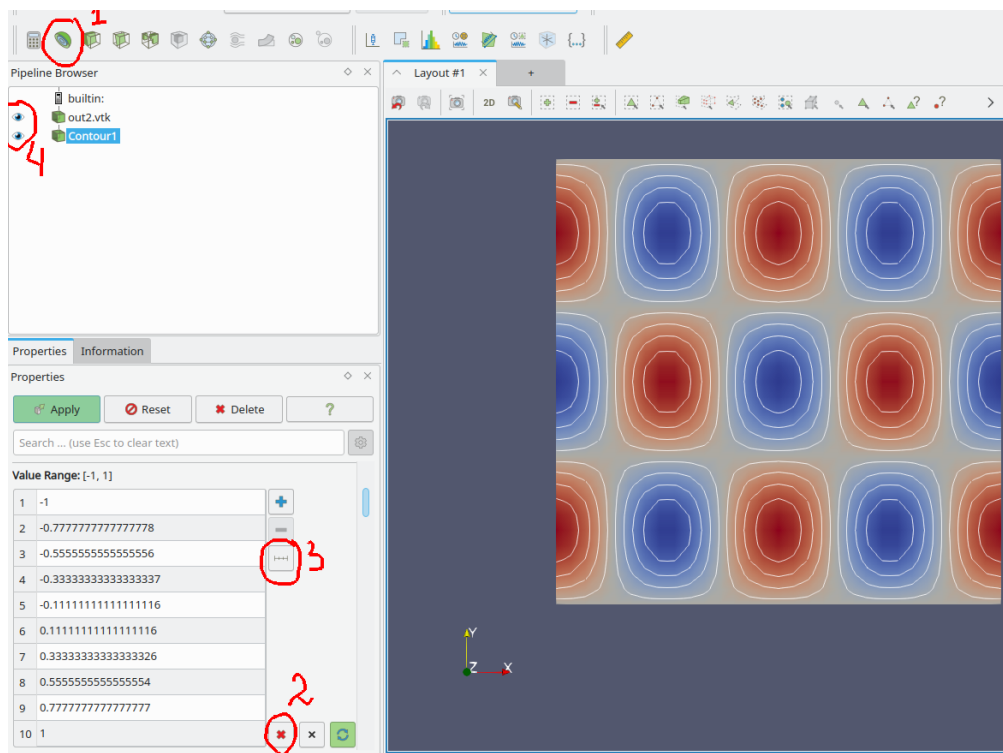


**Обновление данных при изменении исходного файла** В случае, если исходный файл был изменён, нужно в контекстном меню узла соответствующего файла выбрать **Reload Files** (или нажать F5). Если те же самые фильтры нужно применить для просмотра другого файла нужно в этом меню нажать **Change File**.

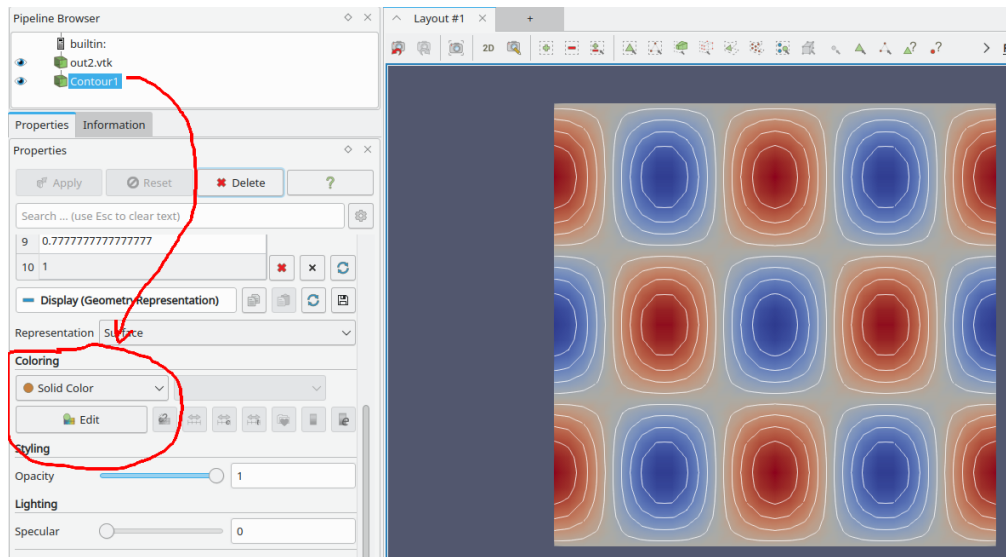


## В.6.2 Изолинии для двумерного поля

1. Нажмите иконку **Contour** (или **Filters/Contour**) В настройках фильтра Contour by выберите данные, по которым нужно строить изолинии.
2. В настройках фильтра удалите все существующие записи о значениях для изолиний
3. Добавьте равномерные значения. В появившемся меню установите необходимое количество изолиний и их диапазон.
4. Если необходимо, включите одновременное отображения цветного поля и изолиний.



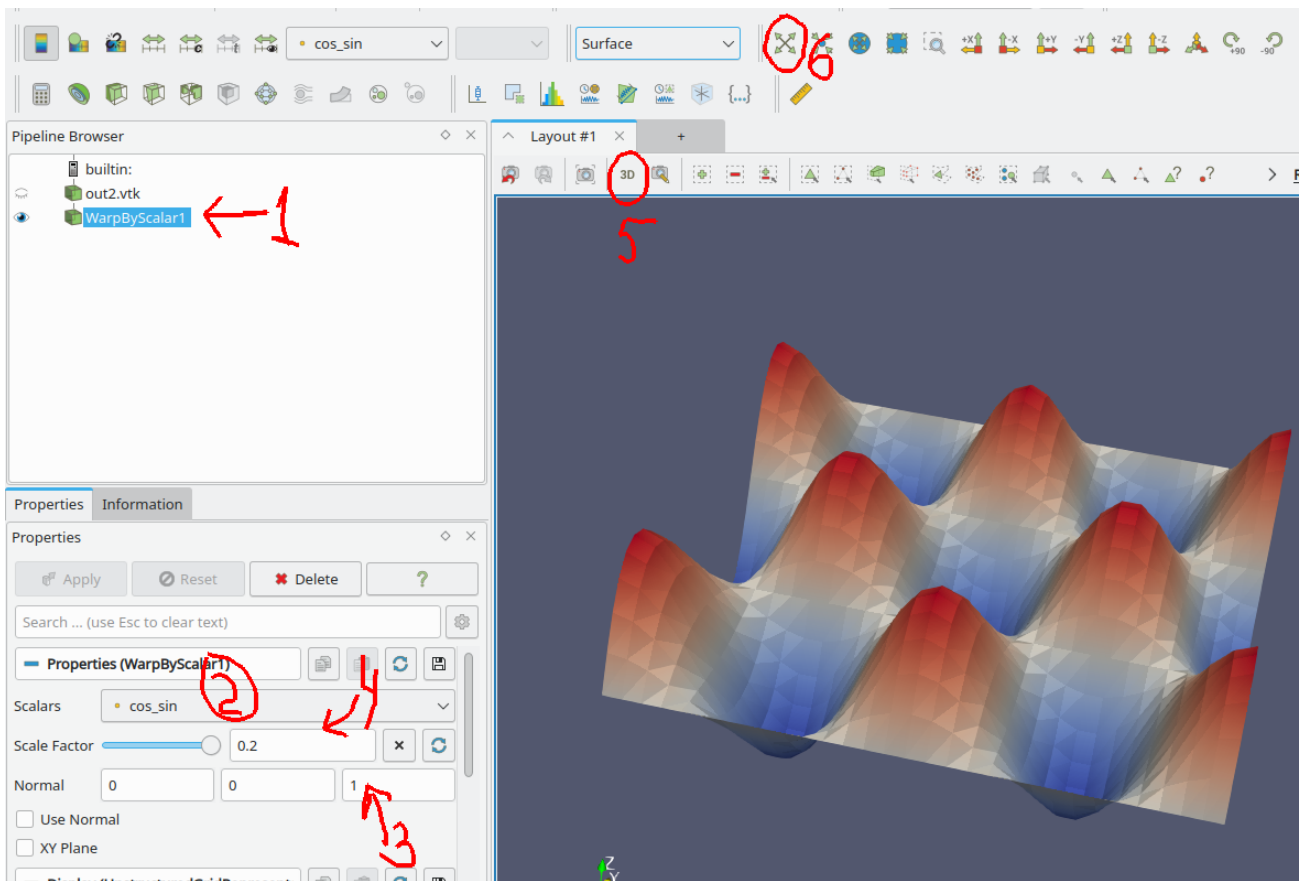
**Задание цвета и толщины изолинии** В случае, если нужно сделать изолинии одного цвета, установите поле **Coloring/Solid color** в настройках фильтра. Там же в меню **Edit** можно выбрать цвет. Для установления толщины линии включите подробные настройки и найдите там опцию **Styling/Line Width**.



### В.6.3 Данные на двумерных сетках в виде поверхности

По аналогии с одномерным графиком (п. В.6.1), двумерные поля так же можно отобразить, проектируя данные на геометрическую координату для получения объёмного графика. Для этого

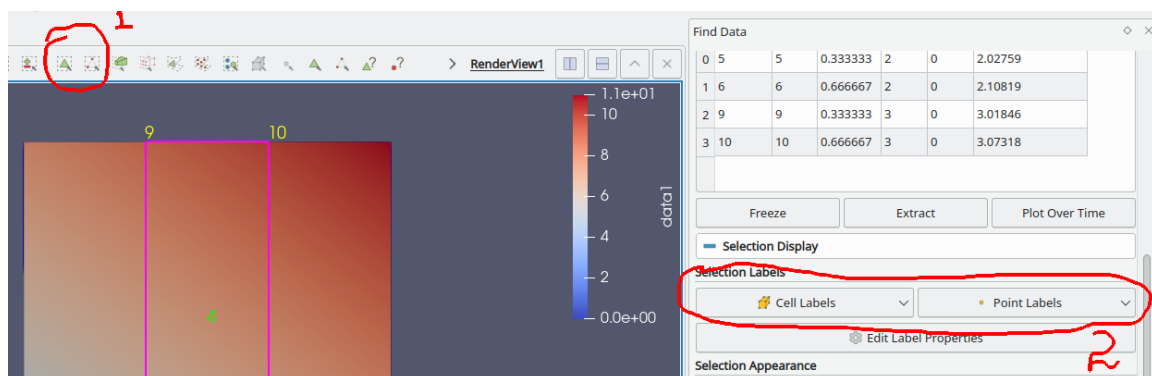
1. Включите фильтр **Filters/Warp By Scalar**
2. В настройках фильтра установите данные, которые будут проектироваться на координату  $z$
3. Установите нормаль для проецирования (ось  $z$ )
4. Если нужно, выберите масштабирования для этой координаты
5. После нажатия **Apply** включите трёхмерное отображение
6. Если данные не видно, обновите экран.



#### В.6.4 Числовых значения в точках и ячейках

Иногда в процессе отладки или анализа результатов расчёта требуется знать точное значение поля в заданном узле или ячейке сетки. Для этого

1. Включить режим выделения точек или ячеек (иконка (1 на рисунке) или горячие клавиши **s**, **d**). Выделить мышкой интересующую область
2. В окне **Find data** (или **Selection Inspector** для старых версий Paraview) отметить поле, которое должно отображаться в центрах ячеек и в точках (2 на рисунке). Если такого окна нет, включить его из основного меню **View**.

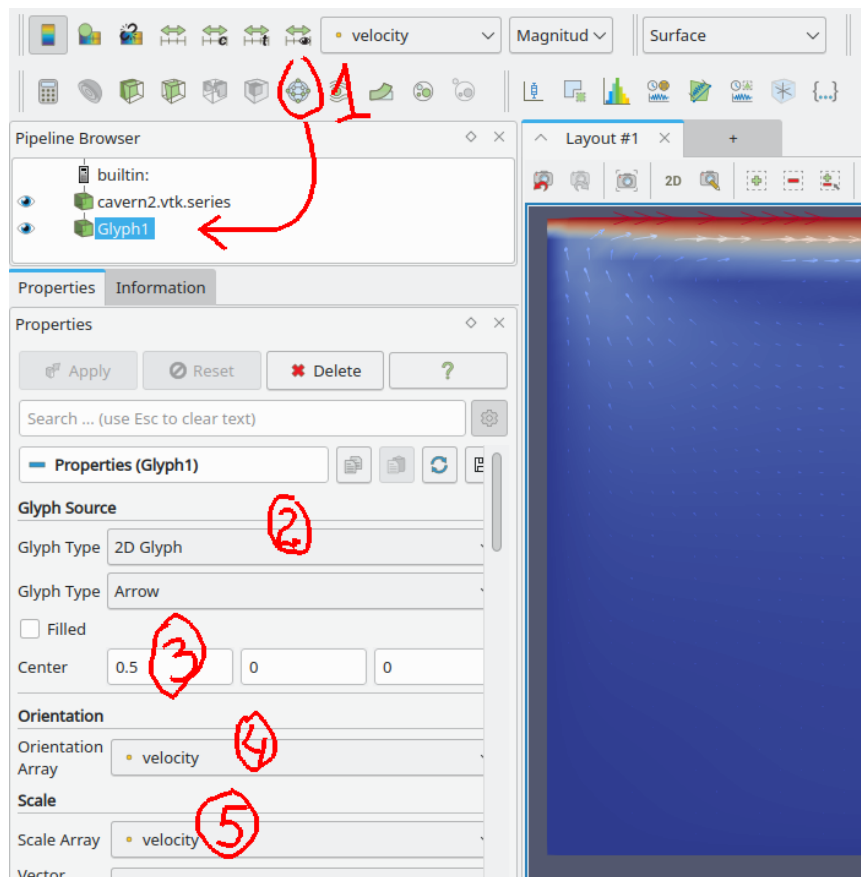


#### В.6.5 Векторные поля

Открыть файл **vtk** или **vtk.series**, который содержит векторное поле. Далее

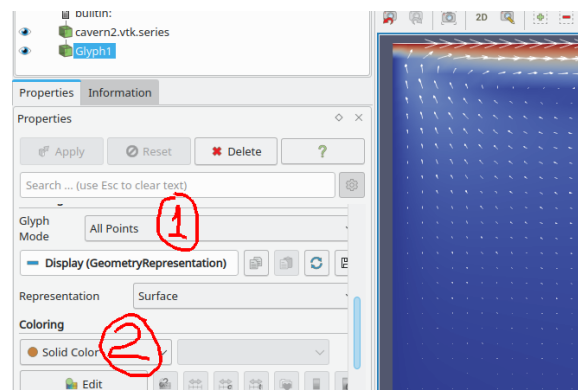
1. Создать фильтр **Glyph**

2. Задать двумерный тип стрелки
3. Сместить центр стрелки, чтобы она исходила из точки, к которой приписана
4. Отметить необходимое векторное поле в качестве ориентации
5. Отметить необходимое векторное поле для масштабирования. Нажать **Apply**.



## Настройка отображения стрелок

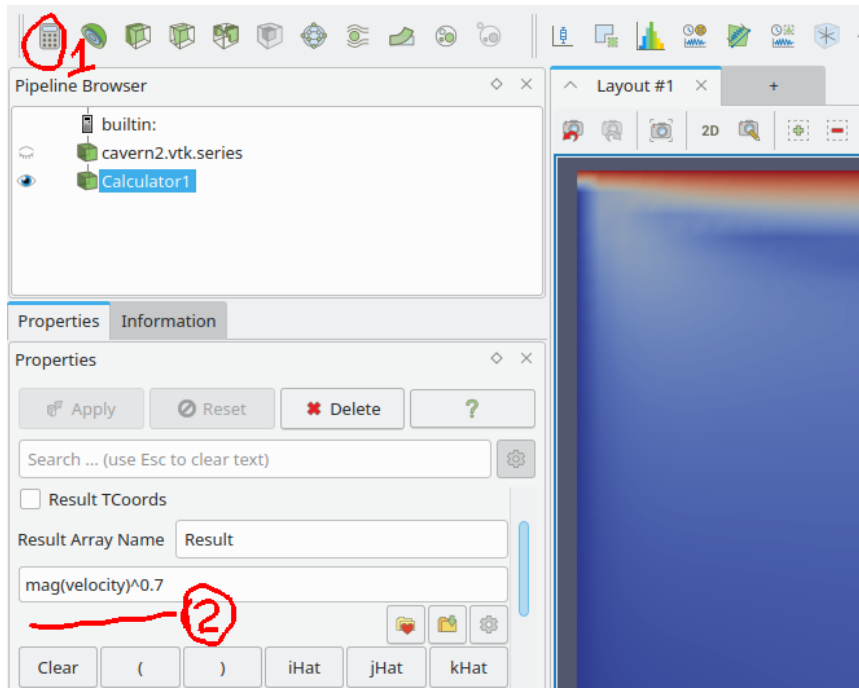
1. Выбрать необходимый **Glyph-mode**. Если сетка небольшая, то можно **All Points**.
2. Установить белый цвет для стрелок. Нажать Apply.



**Уменьшения разброса по длине стрелок** Если разброс по длинам стрелок слишком велик, его можно подравнять, введя новую функцию  $|\mathbf{v}|^\alpha$  – длина вектора в степени меньше единицы (например,  $\alpha = 0.7$ ). Такую функцию можно создать через калькулятор

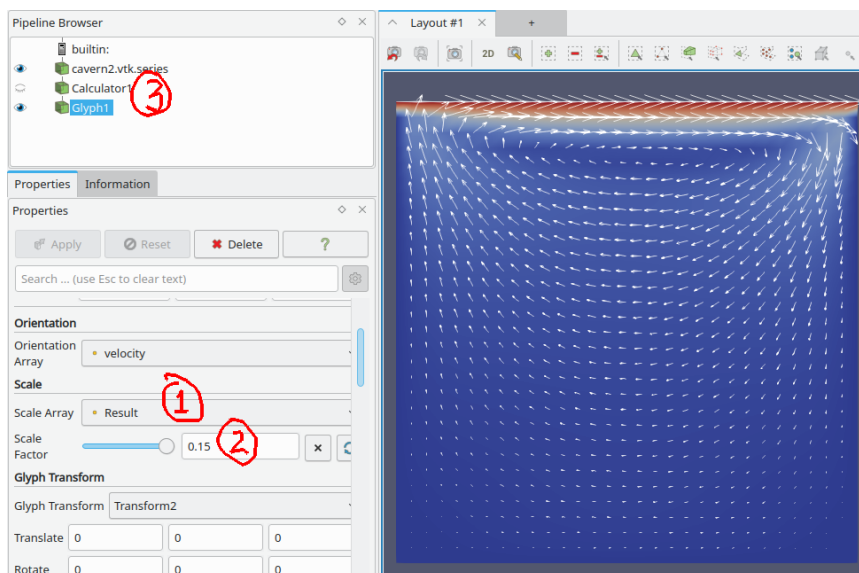


1. Начиная от загруженного файла создать фильтр **Calculator**
2. Там вбить необходимую формулу



Созданную функцию нужно прокинуть в **Glyph** в качестве коэффициента масштабирования

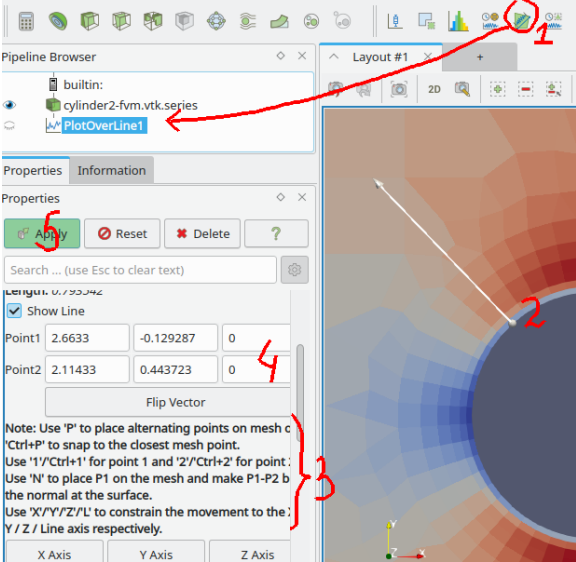
1. В **Scale Array** фильтра **Glyph** указать уже результат работы **Calculator**-а (**Result** по умолчанию),
2. Подтянуть значение **Scale Factor** до приемлимого
3. Не забыть отключить вспомогательное поле **Calculator** из отображения



## В.6.6 Значение функции вдоль линии

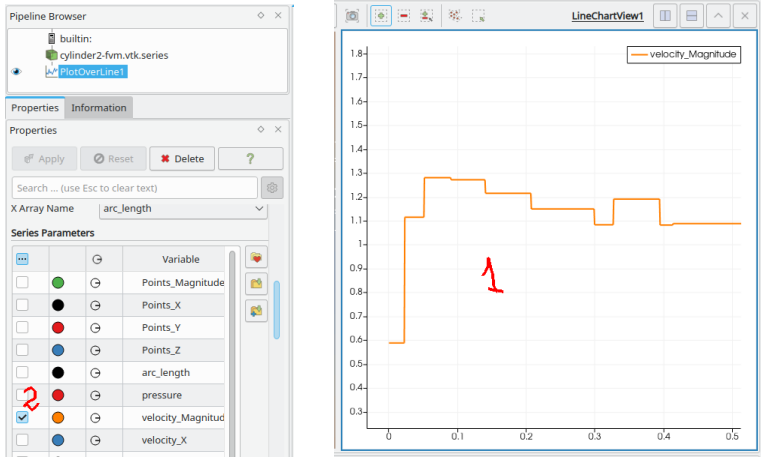
1. Выбрать фильтр **Plot Over Line** иконкой или в меню **Filters**
2. Установить начальную и конечную точку сечения

- Apply



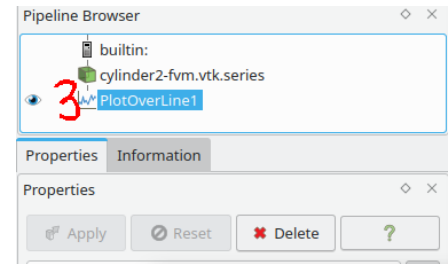
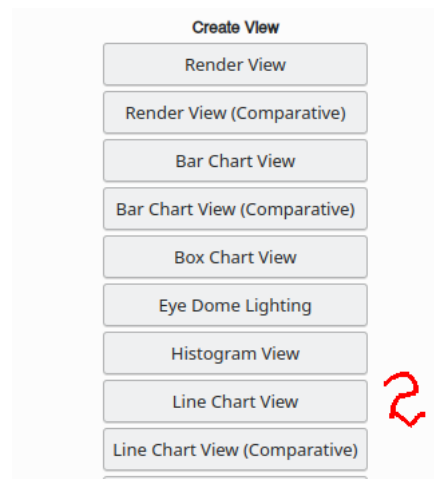
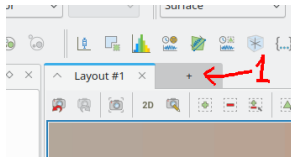
## Настройка графика

- ## Line Chart View



## Отрисовка в отдельном окне

- ## Line Chart View



## В.7 Hybmesh

Генератор сеток на основе композитного подхода. Работает на основе python-скриптов. Полная документация <http://kalininei.github.io/HybMesh/index.html>

### В.7.1 Работа в Windows

Инсталлятор программы следует скачать по ссылке <https://github.com/kalininei/HybMesh/releases> и установить стандартным образом.

Для запуска скрипта построения `script.py` нужно открыть консоль, перейти в папку с нужным скриптом, оттуда выполнить (при условии, что программа была установлена в папку `C:\Program Files`):

```
> "C:\Program Files\HybMesh\bin\hybmesh.exe" -sx script.py
```

### В.7.2 Работа в Linux

Версию для линукса нужно собирать из исходников. Либо, если собрать не получилось, можно строить сетки в Windows и переносить полученные vtk-файлы на рабочую систему.

Перед сборкой в систему необходимо установить dev-версии пакетов `suitesparse` и `libxml2`. Также должны быть доступны компиляторы `gcc-c++` и `gcc-fortan` и `cmake`. Программа работает со скриптами python2. Лучше установить среду `anaconda` (<https://docs.anaconda.com/free/anaconda/install/index.html>) И в ней создать окружение с `python-2.7`:

```
> conda create -n py27 python=2.7    # создать среду с именем py27
> conda activate py27                # активировать среду py27
> pip install decorator              # установить пакет decorator
```

Сначала следует клонировать репозиторий в папку с репозиториями гита:

```
> cd D:/git_repos
> git clone https://github.com/kalininei/HybMesh
```

Поскольку программа не предназначена для запуска из под анаконды, в сборочные скрипты нужно внести некоторые изменения. В корневом сборочном файле `HybMesh/CMakeLists.txt` нужно закомментировать все строки в диапазоне

```
# ===== Python check
....
# ===== Windows installer options
```

а в файле `HybMesh/src/CMakeLists.txt` последнюю строку

```
#add_subdirectory(bindings)
```

Далее, находясь в корневой директории репозитория HybMesh, запустить сборку

```
> mkdir build
> cd build
> cmake .. -DCMAKE_BUILD_TYPE=Release
> make -j8
> sudo make install
```

Для запуска скриптов нужно создать скрипт-прокладку

```
import sys
sys.path.append("/path/to/HybMesh/src/py/") # вставить полный путь к Hybmesh/src/py
execfile(sys.argv[1])
```

и сохранить его в любое место. Например в `path/to/HybMesh/hybmesh.py`.

Для запуска скрипта построения сетки следует перейти в папку, где находится нужный скрипт `script.py`, убедиться, что анаконда работает в нужной среде (то есть `conda activate py27` был вызван), и запустить

```
> python /path/to/HybMesh/hybmesh.py script.py
```